

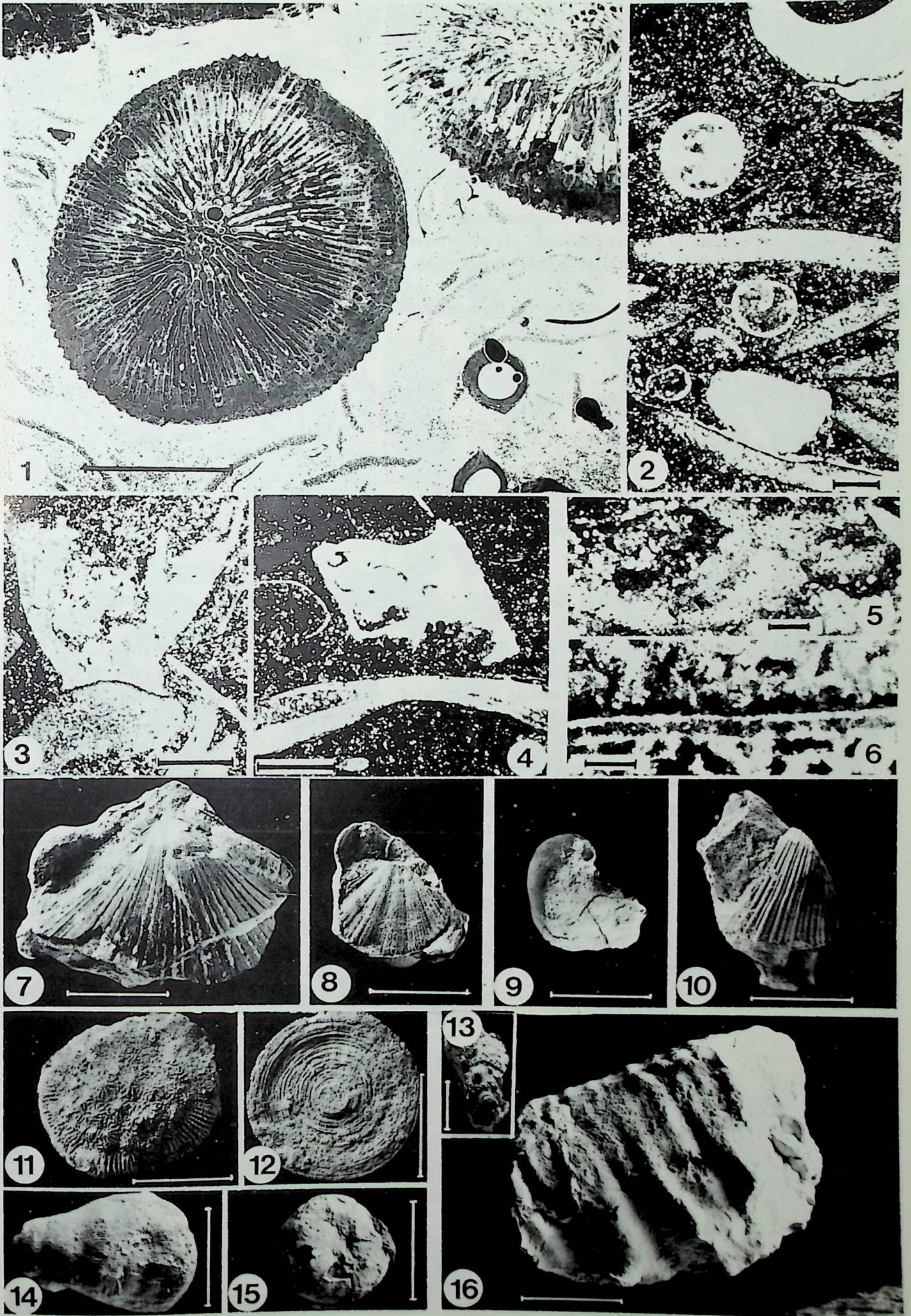
T A F E L N 1 - 50

Alle Figuren aller Tafeln sind so angeordnet, daß die Oberkante der Bilder immer in Richtung der Sedimentoberfläche zeigt.

TAFEL 1

Deltaische Mesorbitolinen-Patchreef-Biofazies von Zufia (Estella-Becken) (Fazieszone 8) (Proben ZU/81)

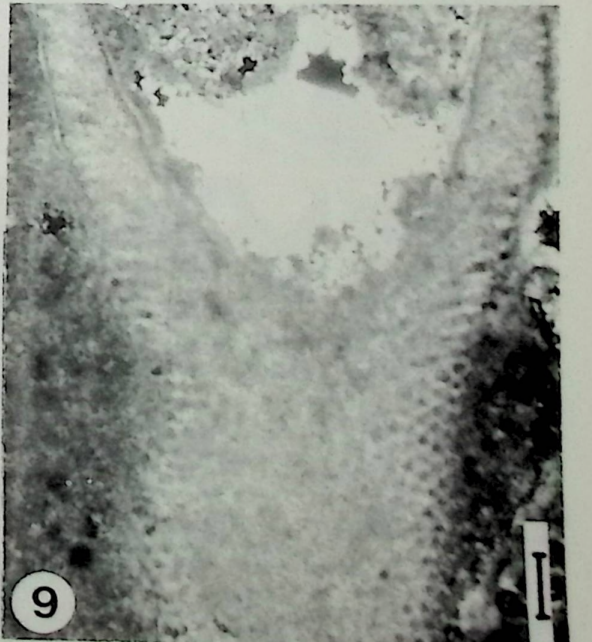
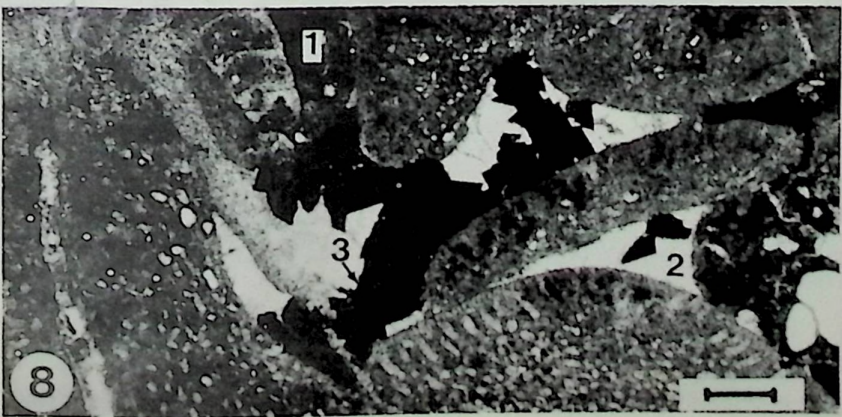
- Fig. 1 Patchreef mit *Protrochocyathus* sp., *Mesorbitolina subconca* und Serpeln, Probe ZU/81, Schliff-Negativ, Maßstab 1 cm.
- Fig. 2 Patchreef-Biofazies mit Gastropoden und Echiniden-Resten (vgl. Fig. 1), Maßstab 1 cm.
- Fig. 3 Solitäre Koralle aufgewachsen auf eine *Mesorbitolina* sp. (vgl. Fig. 1), Maßstab 1 cm.
- Fig. 4 *Nerinea* sp., pycnodonte Austern und *Fernocalculus* sp. (vgl. Fig. 1), Maßstab 1 cm.
- Fig. 5 *Fernocalculus* cf. *budaense* (vgl. Fig. 1), Maßstab 100 µm.
- Fig. 6 Cyanophyceen-Kruste auf *Mesorbitolina* sp. (vgl. Fig. 1), Maßstab 10 µm.
- Fig. 7 *Neitheia* sp., Maßstab 1 cm.
- Fig. 8 "*Pecten*" sp., Maßstab 1 cm.
- Fig. 9 *Exogyra* sp., Maßstab 1 cm.
- Fig. 10 "*Chlamys*" sp., Maßstab 1 cm.
- Fig. 11 *Aspidiscus* sp., Oberseite, Maßstab 1 cm.
- Fig. 12 *Aspidiscus* sp., Unterseite, Maßstab 1 cm.
- Fig. 13 Kleiner regulärer Echinide, Maßstab 5 mm.
- Fig. 14 *Protrochocyathus* sp., Maßstab 1 cm.
- Fig. 15 Irregulärer Echinide (*Hemiaster* sp.), Maßstab 1 cm.
- Fig. 16 *Anisoceras* sp., Maßstab 1 cm.



TAFEL 2

Micicha-Mound, silikoklastische-karbonatische Mischfazies (Fazieszone 5a, 6, 9)

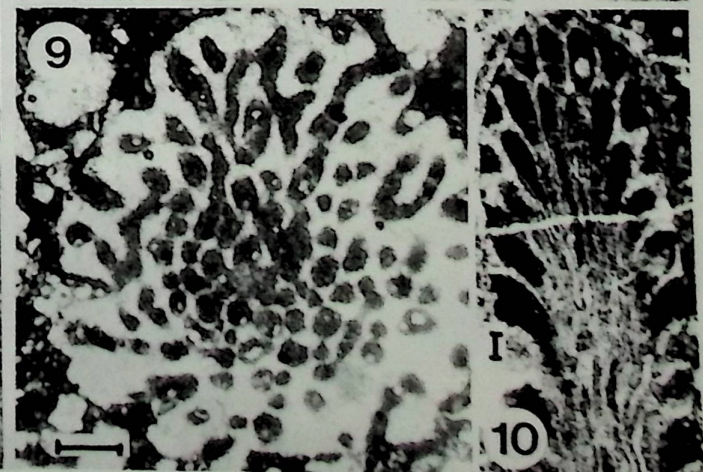
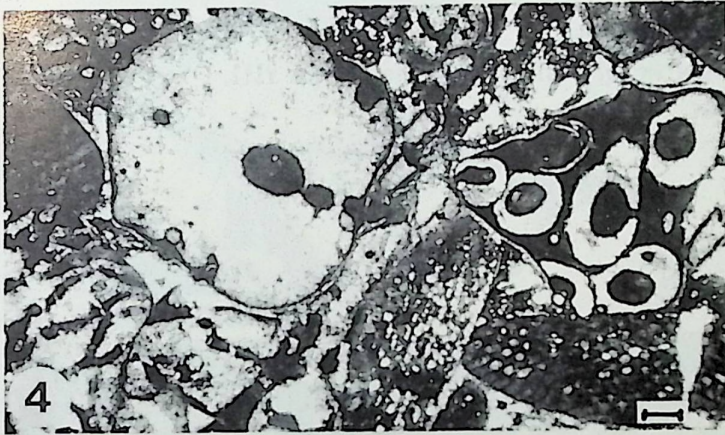
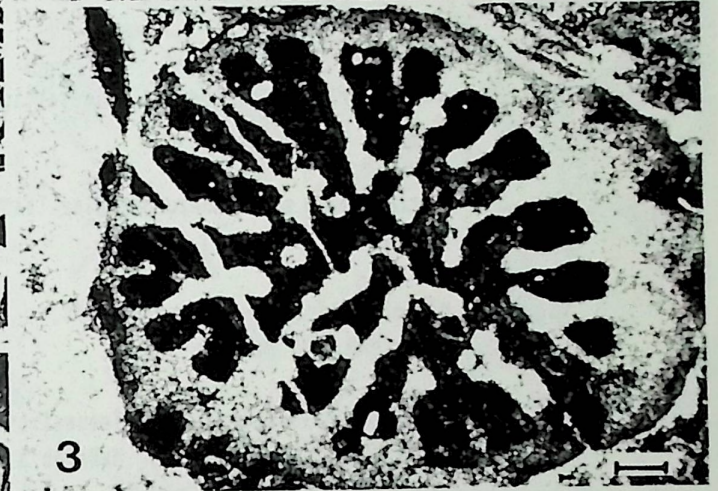
- Fig. 1 Quarzsand-haltiger, gut ausgewaschener Rudstone mit *Reophax* sp. (1), *Mesorbitolina texana* (2), *Permocalculus* sp. (3) und Bryozoen.
Probe MAR 4/4, Schliff-Negativ, Maßstab 1 mm.
- Fig. 2 *Heteroporella* sp. unkrustet von Cyanophyceen (Onkoid-Typ 1) (vgl. Fig. 1).
Maßstab 100 µm.
- Fig. 3 *Haplophragmoides* cf. *greigi*.
Probe VAL 8/3, Maßstab 100 µm.
- Fig. 4 *Everticyclanina* sp.
Probe MAR 2/81, Maßstab 200 µm.
- Fig. 5 *Merinea* sp., verfüllt mit Peloiden.
Probe MAR 4/4, Maßstab 100 µm.
- Fig. 6 *Glonospirella* sp.
Probe MAR 4/4, Maßstab 100 µm.
- Fig. 7 Gleichförmiger faseriger, sehr reiner A₂-Zement. Vermutlich handelt es sich um einen ursprünglichen Aragonit-Zement. Der Rest-Porenraum ist verfüllt mit einem sehr dichten Mudstone. In wenigen Fällen wird ein mikritischer Meniskus-A₁-Zement beobachtet, der auf eine Zementation unter vadosen Bedingungen hinweist.
Probe MAR 2/4/81, Maßstab 100 µm.
- Fig. 8 Gut ausgewaschener Rudstone mit Intraklasten (1) und *Mesorbitolina texana* an der Basis des Micicha-Mounds mit einem drusigen sehr hellen A-Zement (2) und einem spätdiagenetischen Siderit-Zement (3).
Probe MAR 1/1/81, Maßstab 100 µm.
- Fig. 9 *Permocalculus budaense*.
Probe MAR 4/4, Maßstab 100 µm.



TAFEL 3

Micicha-Mound, silikoklastische-karbonatische Mischfazies (Fazieszone 5a, 6, 9)

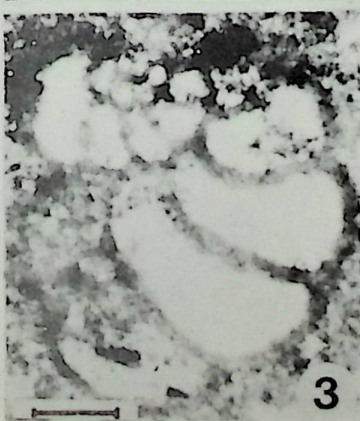
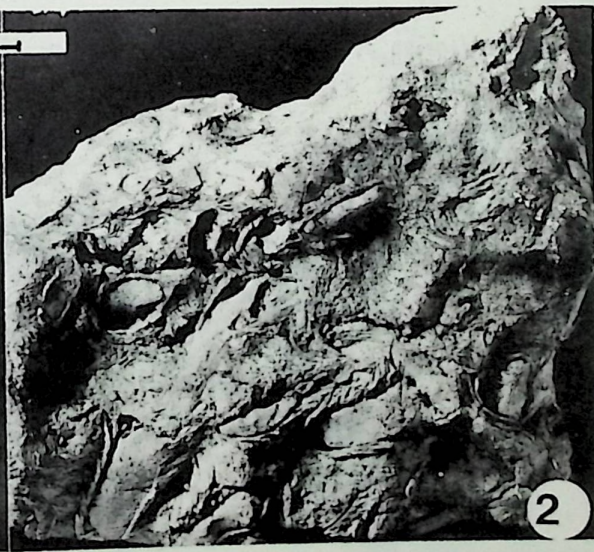
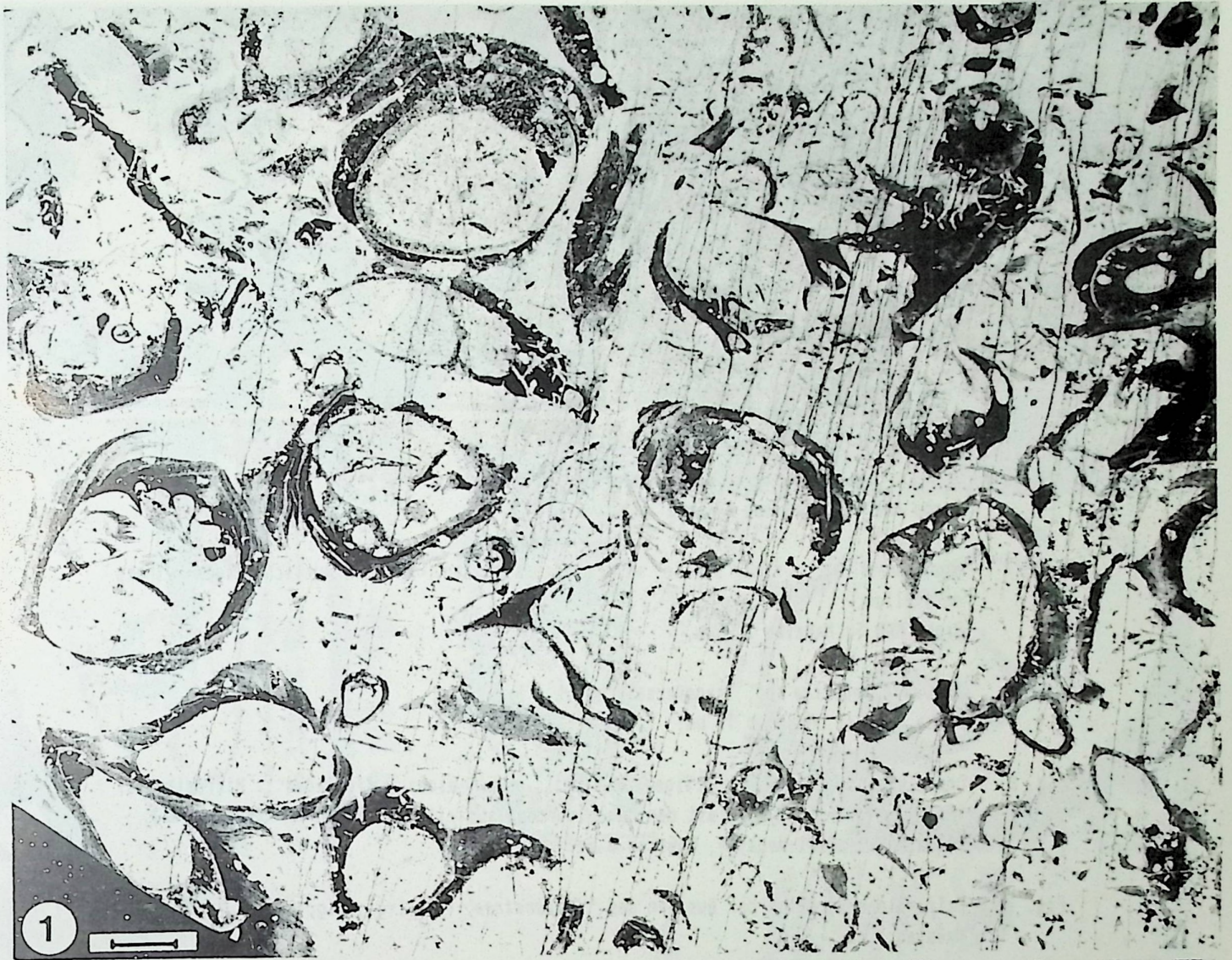
- Fig. 1 Floatstone, vermutlich eine Tempestit-Lage, mit Schirmporen.
Probe MAR 2/4, Schliff-Negativ, Maßstab 2,5 mm.
- Fig. 2 *Boueina hochstetteri*, aus einer Floatstone-Lage an der Basis der Karbonat-Sequenz mit Rudisten.
Probe MAR 2/3, Maßstab 500 µm.
- Fig. 3 ? *Trochocyathus* sp., Weichboden-Koralle.
Probe MAR 2/3, Maßstab 200 µm.
- Fig. 4 Schlecht ausgewaschener Rudstone mit Intraklasten. Die Klasten sind umgeben von einem fibrösen A-Zement. Einzelkomponenten sind alle mit Mikritrinden umgeben.
Probe MAR 2, Maßstab 200 µm.
- Fig. 5 *Koskinobulina* sp. (Alge?) krustierend auf einer Rudisten-Schale.
Probe VAL 8/3, Maßstab 20 µm.
- Fig. 6 Pharetronider Schwamm.
Probe MAR 4/2/81, Maßstab 300 µm.
- Fig. 7 *Sabaudia minuta*.
Probe VAL 8/3, Maßstab 60 µm.
- Fig. 8 *Coscinolinella daguini*.
Probe VAL 8/3, Maßstab 100 µm.
- Fig. 9 *Cayeuxia* sp..
Probe VAL 8/3, Maßstab 100 µm.
- Fig. 10 Bryozoa.
Probe MAR 2/3, Maßstab 200 µm.



TAFEL 4

Micicha-Mound, *Monopleura*-Biofazies (Fazieszone 6/7)

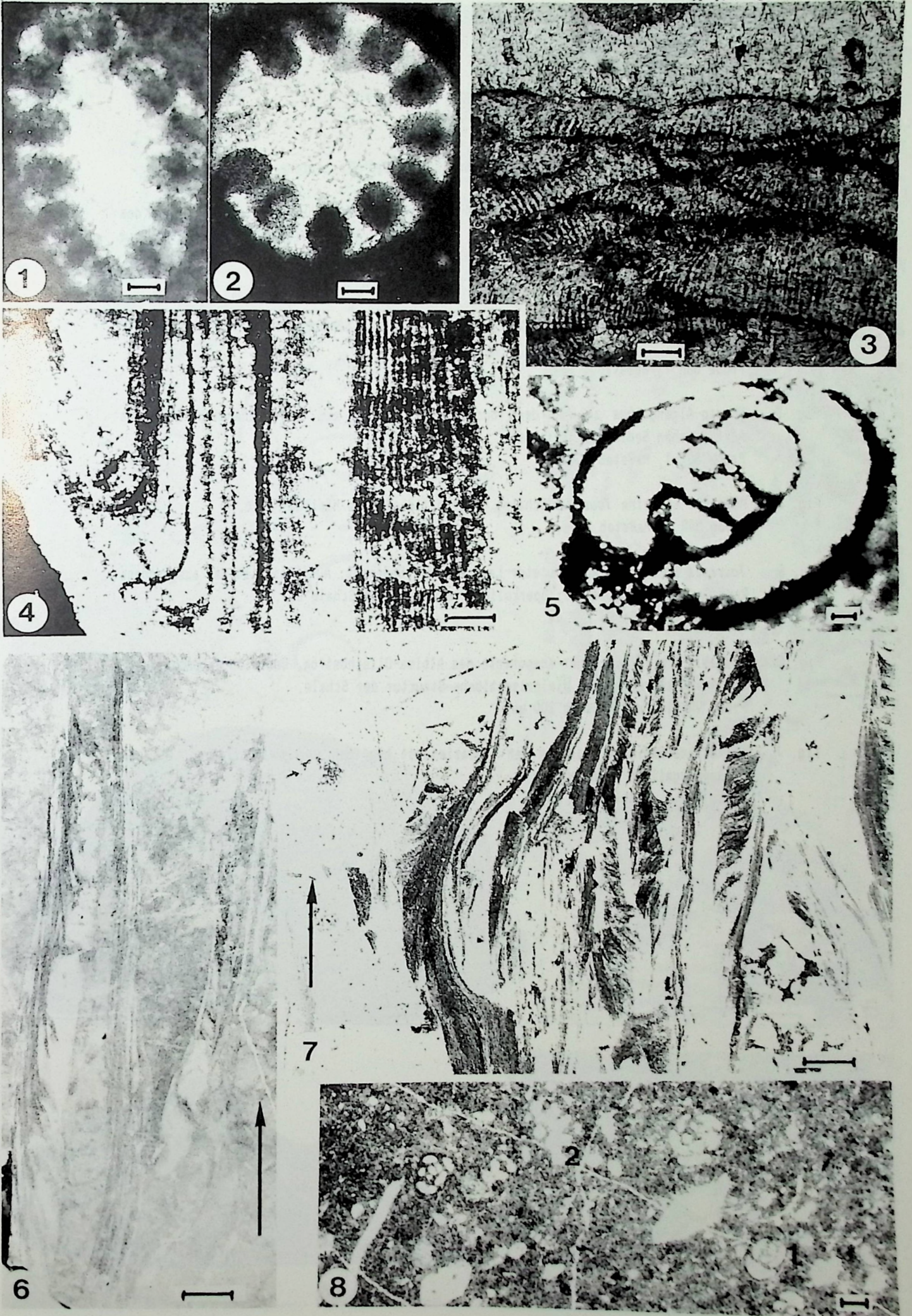
- Fig. 1 *Monopleura*-Bafflestone.
Probe MAR 5/1, Peel-Negativ, Maßstab 5 mm.
- Fig. 2a *Monopleura*-Bafflestone (vgl. Fig. 1).
Maßstab 1 cm.
- Fig. 3b *Monopleura*-Bafflestone mit relaisartigen Höhenwachstum der Rudisten (vgl. Fig. 1).
Maßstab 1 cm.
- Fig. 3 *Nezzatinella* sp., nahezu dorsaler Transversalschnitt (vgl. Fig. 1).
Maßstab 100 µm.
- Fig. 4 Miliolida/*Acicularia*-Gemeinschaft.
Probe MAR 5/1, Maßstab 100 µm.
- Fig. 5 *Monopleura*-Floatstone einer Tempestit-Lage an der Basis des Profils Marieta VIII.
Probe MAR 13, Peel-Negativ, Maßstab 3 mm.
- Fig. 6 *Neomeris* cf. *pfendere*.
Probe MAR 5/7/81, Maßstab 100 µm.



TAFEL 5

Miticha-Mound, *Monopleura*-Biofazies (Fazieszone 6/7)

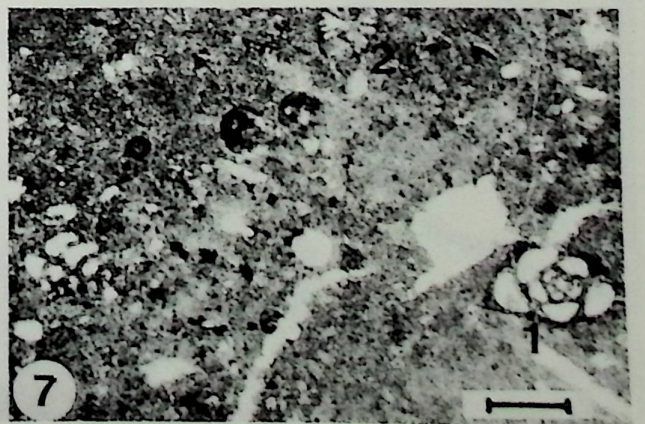
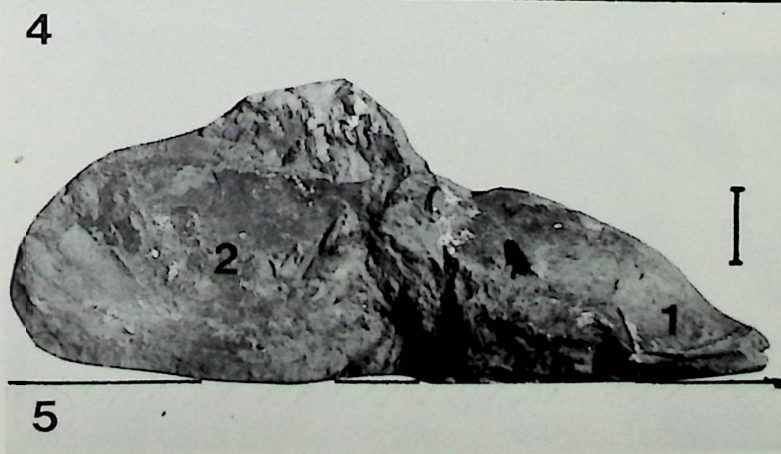
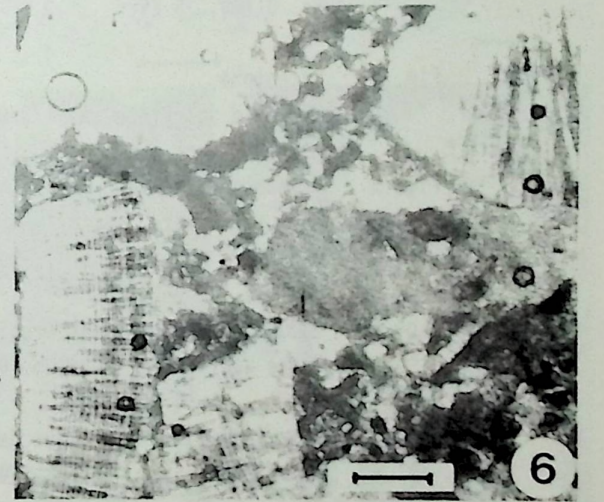
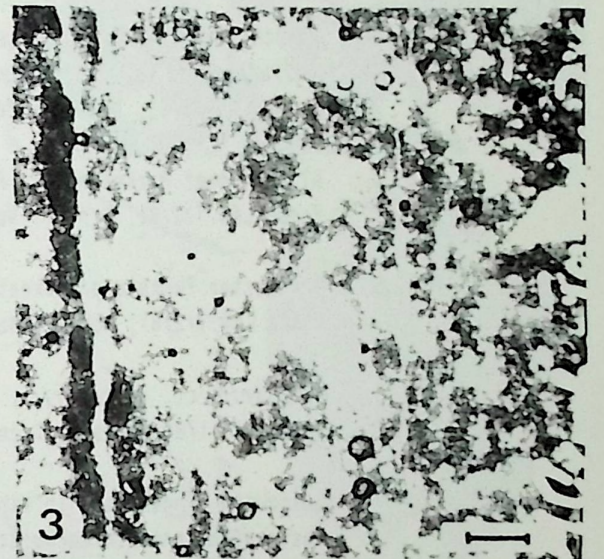
- Fig. 1 *Acicularia* cf. *clapei*.
Probe MAR 5/8, Maßstab 10 µm.
- Fig. 2 *Acicularia elongata*.
Probe MAR 5/8, Maßstab 10 µm.
- Fig. 3 *Ethelia alba*, krustierend auf einer *Monopleura*-Schale.
Probe MAR 5/5, Maßstab 50 µm.
- Fig. 4 *Monopleura* sp., fixe Schale mit Anwachsstreifen, die vermutlich Tageszyklen darstellen.
Probe MAR 5, Maßstab 200 µm.
- Fig. 5 *Pseudotriloculina* sp., Transversalschnitt.
Probe MAR 2/1, Maßstab 10 µm.
- Fig. 6 Doppelklappige Austern-artige Muschel mit einer "foliated" Mikrostruktur ("Crassostrea"-Typ), die mit den Monopleuriden auftritt, (**Chondrodonta**)
Probe MAR 7, Peel-Negativ, Maßstab 5 mm.
- Fig. 7 Bafflestone-Struktur der Austern des "Crassostrea"-Typs (vgl. Fig. 6).
Maßstab 1 cm.
- Fig. 8 Wackestone mit *Quinqueloculina* sp. (1) und *Carpathoporella* sp. (2) des mikritischen Sediments zwischen den Austern (vgl. Fig. 6, 7).
Maßstab 100 µm.



TAFEL 6

Toucasia-Biofazies der Landa-Karbonatplattform und der Gorbea (Fazieszone 7)

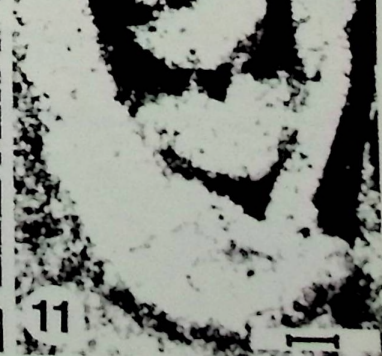
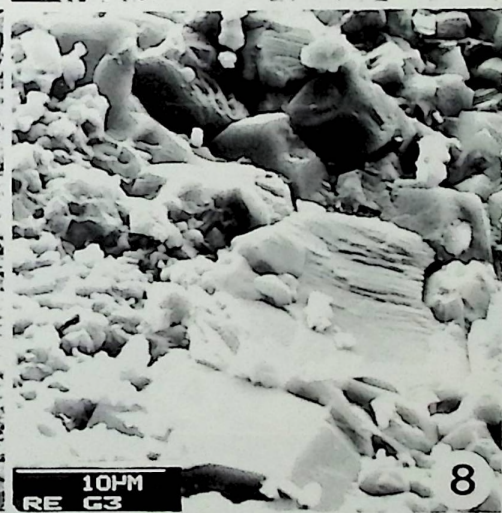
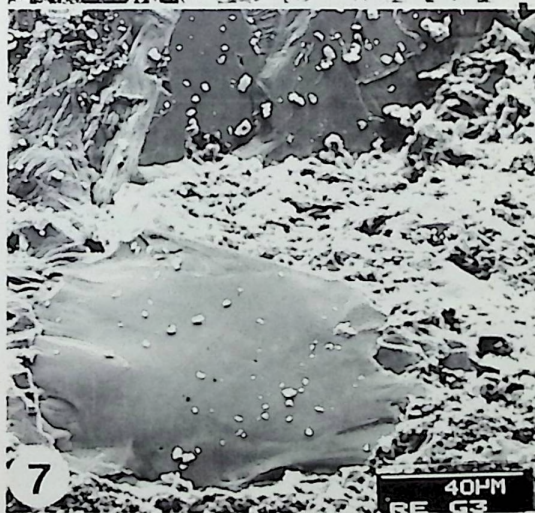
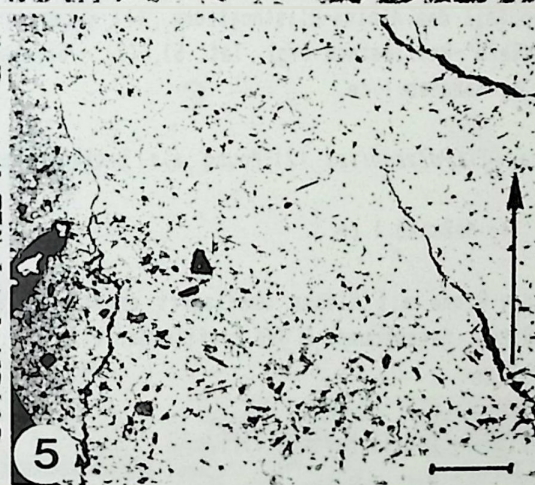
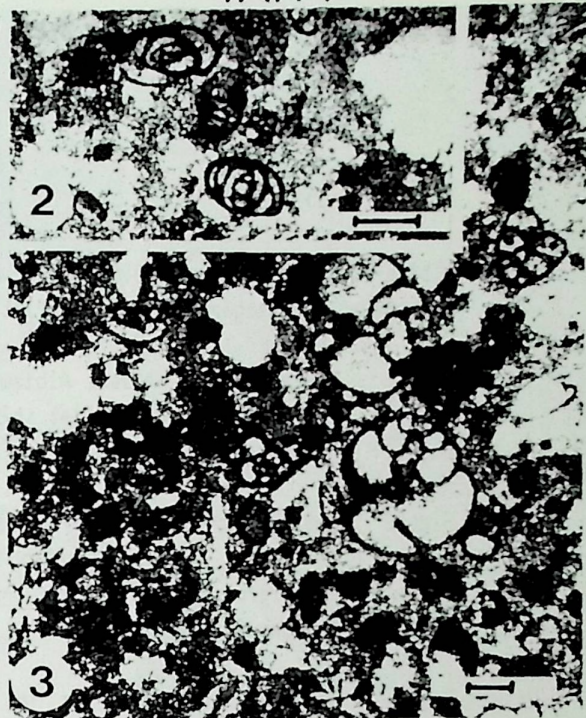
- Fig. 1 *Toucasia*-Bank des Unterhalb, Steinbruch am Gorbea-Stausee. Die Schalen liegen auf dem Sediment und berühren sich nicht. Sie bilden eine Pseudo-Bafflestone-Struktur ("sediment supporting" s. PERKINS 1974).
Probe GDR 1, Maßstab 3 cm.
- Fig. 2 *Toucasia* sp. mit fixer (1) und freibeweglicher (2) Schale, leicht schiefer Median-Schnitt.
Probe GDR 1, Maßstab 3 mm.
- Fig. 3 Krypto-Algengefüge am Top der Toucasien-Bänke, die zur Oberflächenstabilität des mikritischen Sediments beitragen.
Probe GDR 1, Maßstab 200 µm.
- Fig. 4 Aufsicht auf eine *Toucasia*-Schale, Unter-Mittelhalb des Micicha-Mound.
Probe MAR 2, Maßstab 1 cm.
- Fig. 5 *Toucasia*-Schale mit angelegter Lage auf dem Sediment. Auffällig ist der ausgelegte Rand der fixen Schale (1); operkulide freibewegliche Schale (2).
Probe MAR 2, Maßstab 200 µm.
- Fig. 6 *Toucasia*-Schill aus einer Komponente des Albina-Dlisthostron. Deutlich erkennbar sind die Anwachsstreifen und die prismatische Struktur der Schale.
Probe VAL 14, x N, Maßstab 200 µm.
- Fig. 7 Wackestone-Sediment zwischen den Toucasien mit häufigen *Quinqueloculina* sp. (1) und Ataxophragmiiden (*Sabaudia* sp.).
Probe MAR 2, Maßstab 100 µm.



TAFEL 7

Karbonat-Faziestypen des Landa-Kalks (Unter-Mittelalb)

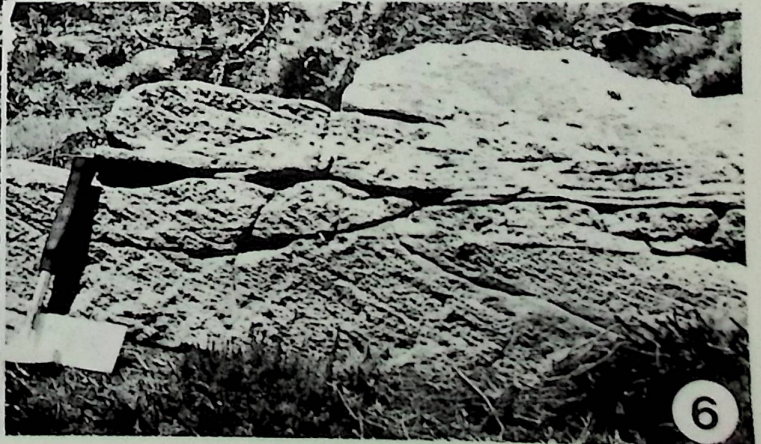
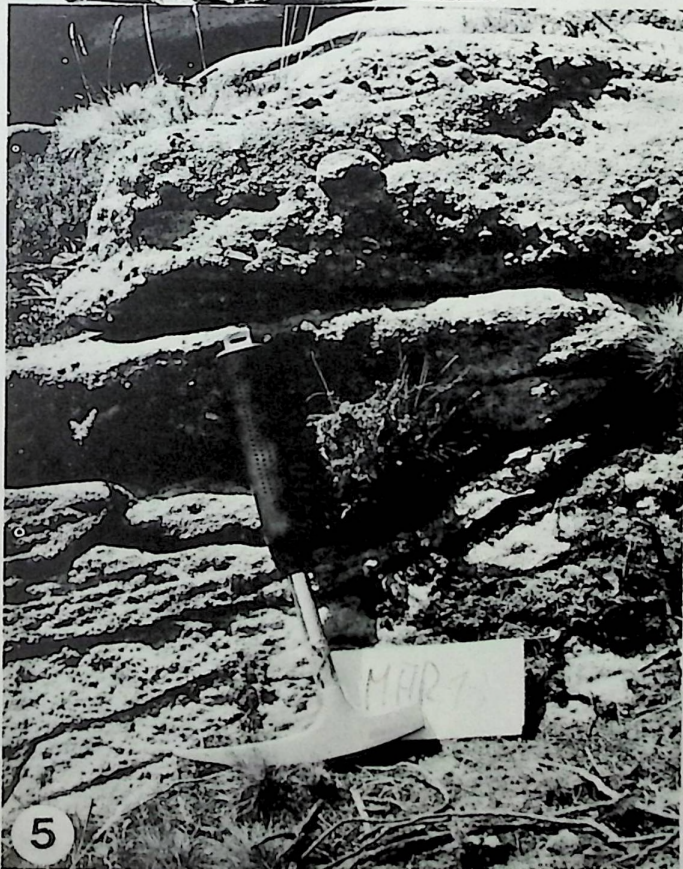
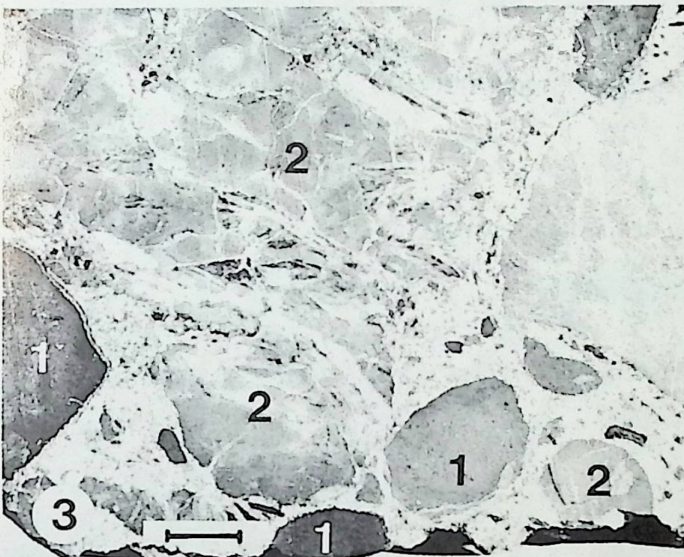
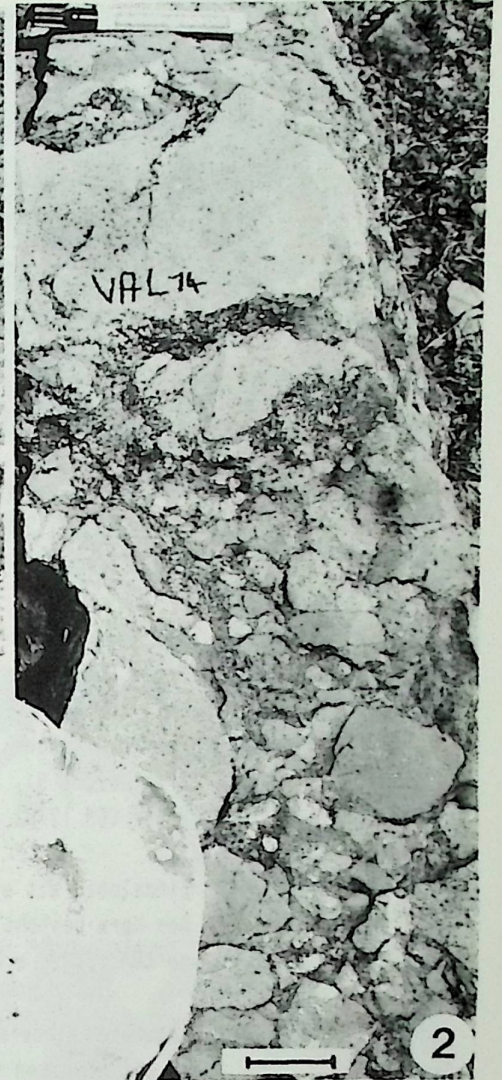
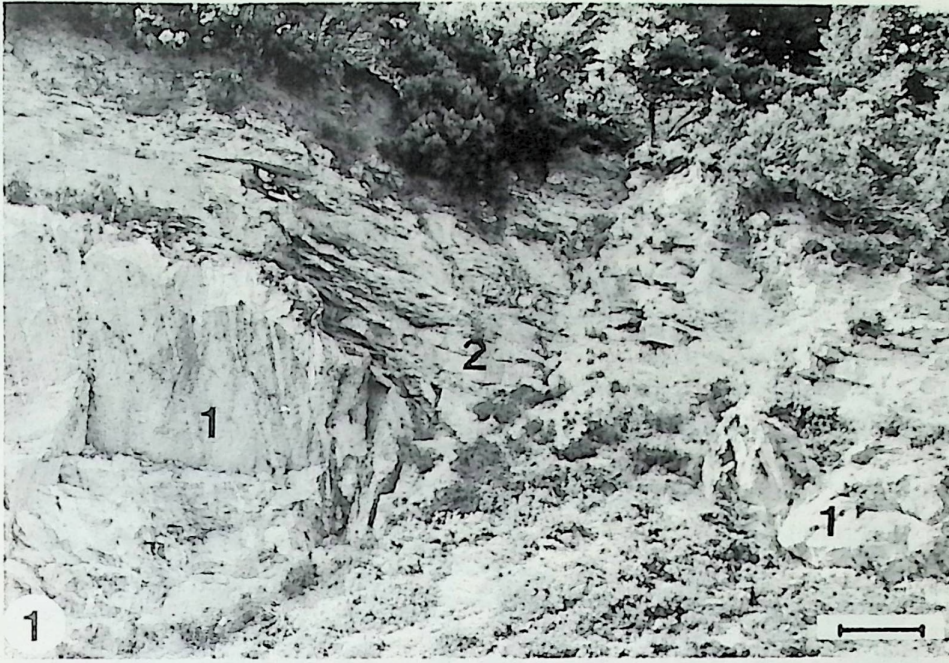
- Fig. 1 Floatstone eines Riffbank-Intervalls, *Tourcasia/Scleractinia*-Biofazies (Fazieszone 11b); *Tourcasia* sp. (1), *Stylosmilia* sp. (2).
Probe VAL 8/3, Peel-Negativ, Maßstab 3 mm.
- Fig. 2 Autochthoner Wackestone der lagunären Beckenfazies (Fazieszone 7a) mit Milioliden.
Probe LAN 1/6/81, Maßstab 100 µm.
- Fig. 3 Autochthoner Wackestone der lagunären Beckenfazies (Fazieszone 7a) mit häufigen *Valvulammmina* sp. und *Quinqueloculina* sp..
Probe LAN 1/6/81, Maßstab 100 µm.
- Fig. 4 Allochthoner Packstone mit Rudisten-Schill der Lagunenbecken-Fazies (Fazieszone 7a).
Probe LAN 1/2/81, Schliff-Negativ, Maßstab 2,5 mm.
- Fig. 5 Gradierter Packstone/Wackestone der Lagunenbecken-Fazies (Fazieszone 7a).
Probe LAN 1/2/81, Schliff-Negativ, Maßstab 2,5 mm.
- Fig. 6 *Birostrina* cf. *concentrica*, Mittelalb.
Probe LAN 1/81, Maßstab 1 cm.
- Fig. 7 Quarzkorn eingebettet in eine Mikrit-Matrix.
Rasterelektronenmikroskopisches (REM) Bild der Probe LAN 1/2/81 (vgl. Fig. 4), REM-Nr. 01700, 15 KV.
- Fig. 8 Packstone.
REM-Bild von Probe LAN 1/3/81 (vgl. Fig. 5), REM-Nr. 01702, 15 KV.
- Fig. 9 Aufschluß-Bild der allochthonen, z.T. turbiditischen Bänke der Lagunenbecken-Fazies des Landa-Kalks.
Maßstab 5 cm.
- Fig. 10 *Sabaudia minuta*, Transversalschnitt, (Fazieszone 7a).
Probe LAN 1/7/81, Maßstab 100 µm.
- Fig. 11 *Pseudotriloculina* sp. aus der autochthonen Lagunenbecken-Fazies (Fazieszone 7a).
Probe LAN 1/6/81, Maßstab 10 µm.



TAFEL 8

Albina-Olisthostrom und deltaische Sedimente der basalen Megasequenz 2 ("Complex gréseux supérieur") im Hangenden der Landa-Plattform des Unter-Mittelalb

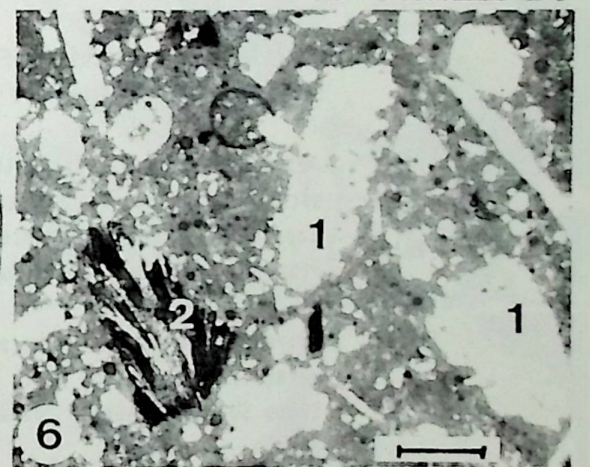
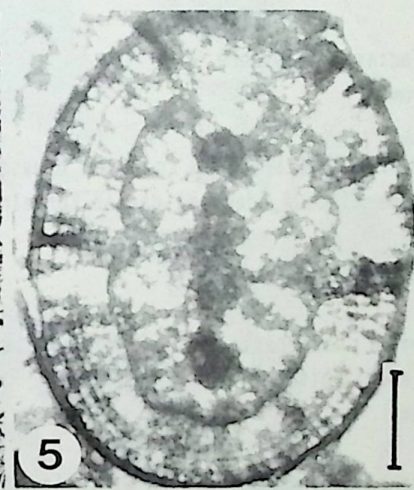
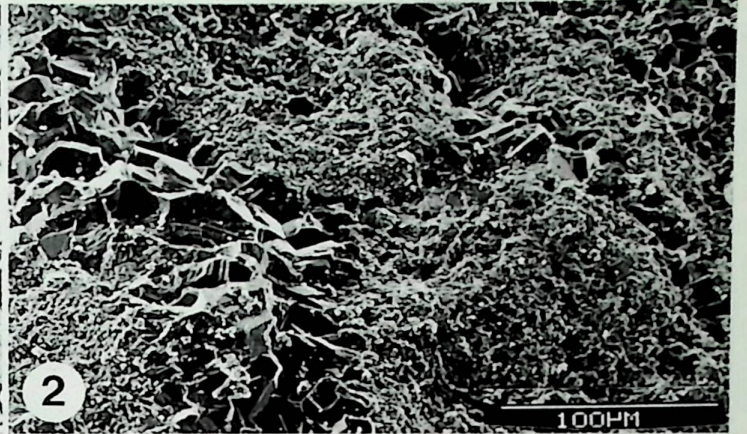
- Fig. 1 Steinbruch am Stausee Albina mit großen Komponenten der Landa-Plattform des Unter-Mittelalb (1) eingebettet in die Sandsteine der basalen Megasequenz 2 (2), Maßstab 2 m.
- Fig. 2 Debris Flow am Steinbruch Albina mit Komponenten der Landa-Plattform des Unter-Mittelalb. Die Komponenten bestehen aus allen beobachteten Mikrofazies-Typen der Plattform, Maßstab 2 cm.
- Fig. 3 Karbonat-Konglomerat am Top des Profils Albertia II. Es handelt sich um den proximalen Teil des Albina-Olisthostroms, (1) - Lagunenbecken-Fazies (Fazieszone Ia), (2) - "Austern"-Bafflestone (vgl. Taf. 5), (3) - Stromatopore, Probe VAL 5, Maßstab 1 cm.
- Fig. 4 *Monopleura* (1)/*Polyconites* (2)-Mound als Großkomponente in den Debris Flow von Albina, Probe VAL 14, Maßstab 1 cm.
- Fig. 5 Distributary-Rinne mit Kiesen überlagert erosiv schräggeschichtete Sedimente einer Crevasse-Rinne, Megasequenz 2 des Profils Marieta VIII, Probe MAR 13.
- Fig. 6 Crevasse-Rinnen, Profil Marieta VIII.



TAFEL 9

Hochenergetische Ooid-Plattform (Fazieszone 9) und niederenergetische Lagunen-Fazies (Fazieszone 7) der Comillas-Suances-Karbonatplattform des Oberalb

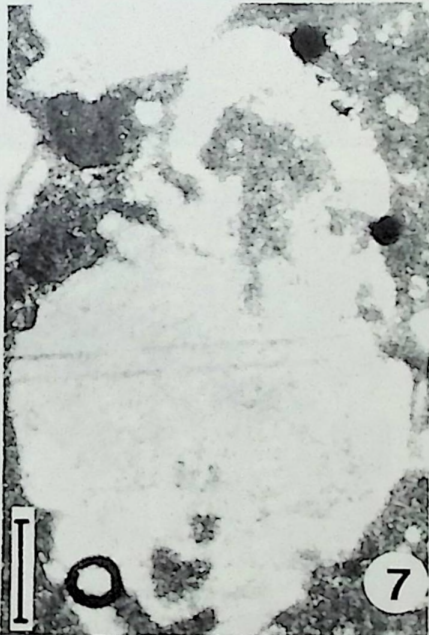
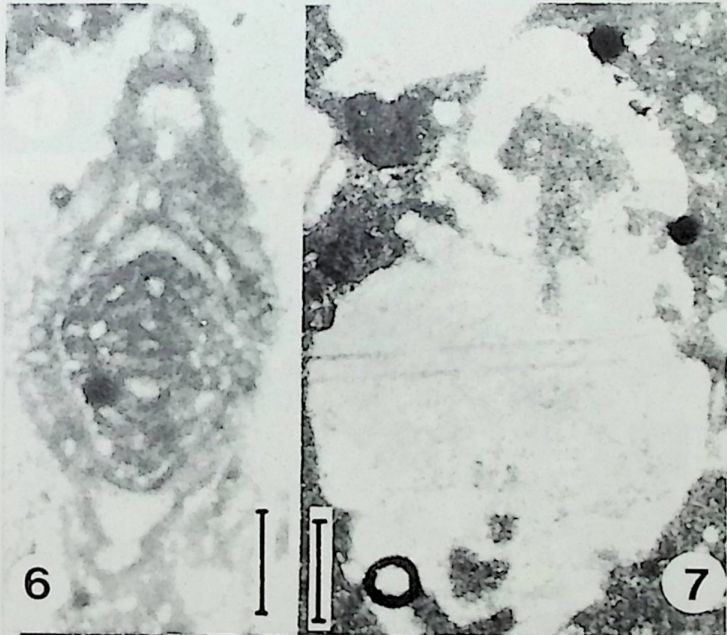
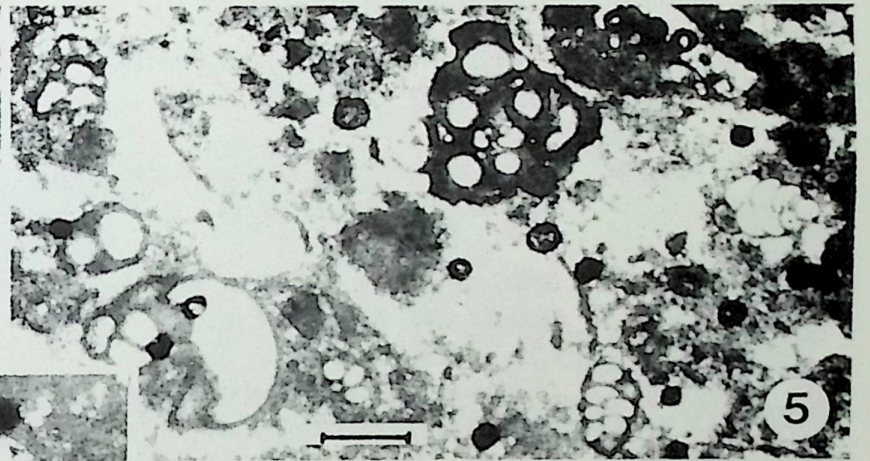
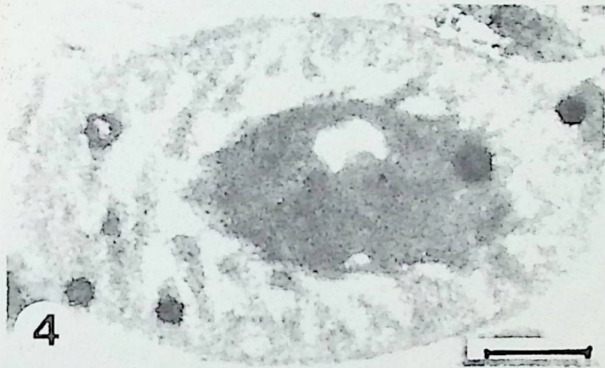
- Fig. 1 Rudstone mit Ooiden (1), Ooid-Fazies (Fazieszone 9), Profil Comillas, Probe CDM 13/82, Schliff-Negativ, Maßstab 1 mm.
- Fig. 2 REM-Bild mit Ooiden (1) und einem Meniskus-A-Zement (2) sowie einen drusigen spätdiagenetischen Blockzement (3), Probe CDM 13/82.
- Fig. 3 Ooid-Grainstone (Fazieszone 9) mit Meniskus-Zementen, Probe CDM 12/82, Maßstab 200 µm.
- Fig. 4 Ooid-Grainstone; neben den Ooiden finden sich Rindenkörner ohne Ooid-Charakter (1) (Fazieszone 9), Probe CDM 12/82, Schliff-Negativ, Maßstab 1 mm.
- Fig. 5 Einzeloid mit einem tangentialen Aufbau aus mehreren prismatischen Kalzit-Schichten. Der Kern besteht aus einer ursprünglich aragonitischen involutinigen Foraminifere Probe CDM 13/82, x N, Maßstab 100 µm.
- Fig. 6 Lagunäre niederenergetische *Permocalculus/Boueina pygmaea* (1)-Biofazies (Fazieszone 7) mit Bryozoen (2), Probe CDM 5/82, Maßstab 200 µm.
- Fig. 7 *Boueina pygmaea* (Fazieszone 7), Probe TRA 3/81, Maßstab 100 µm.
- Fig. 8 *Hensonina lenticularis* (Fazieszone 9), Probe CDM 1/82, Maßstab 200 µm.
- Fig. 9 Lagunäre *Permocalculus* (1)/*Boueina pygmaea*-Biofazies (Fazieszone 7), Probe Güemes/81, Schliff-Negativ, Maßstab 1 mm.



TAFEL 10

Comillas-Suances-Karbonatplattform des Oberalb

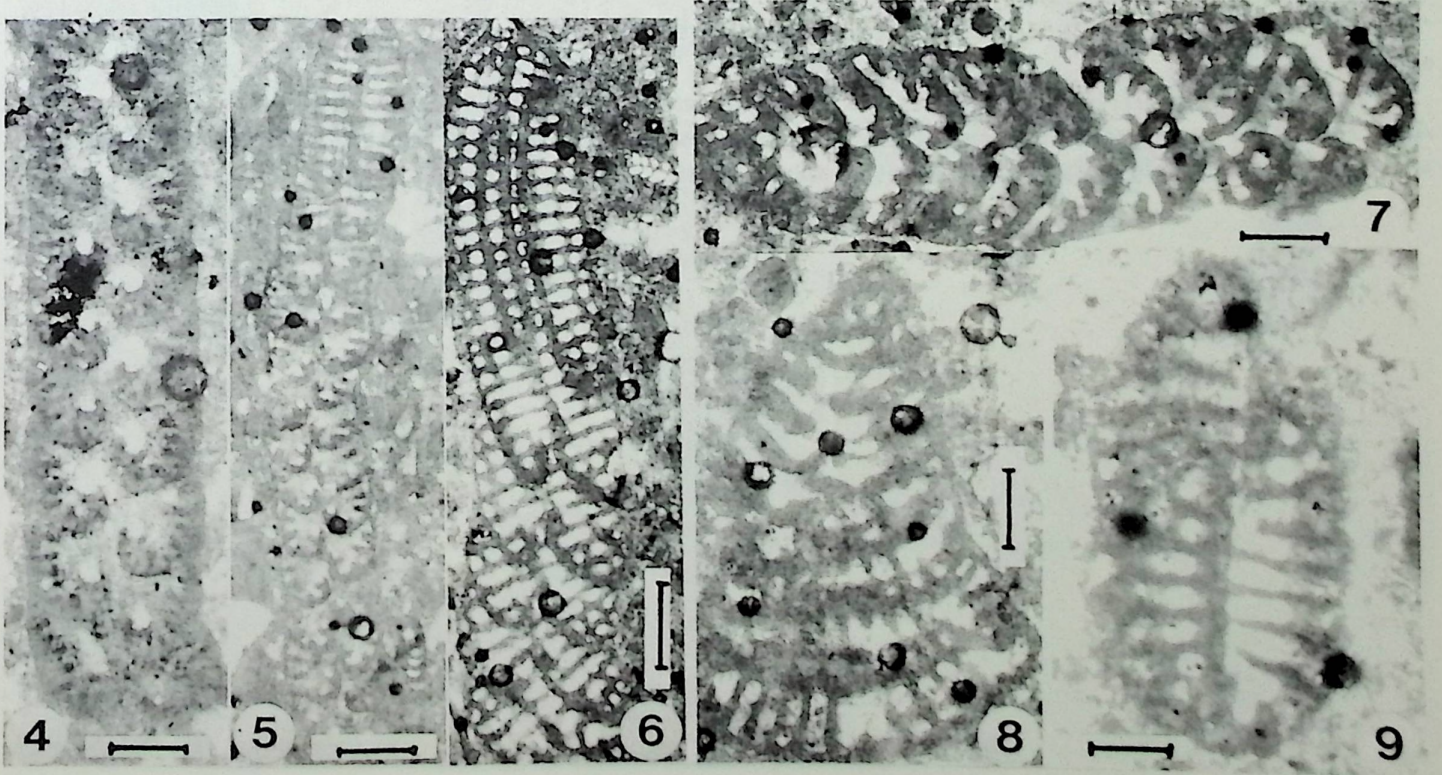
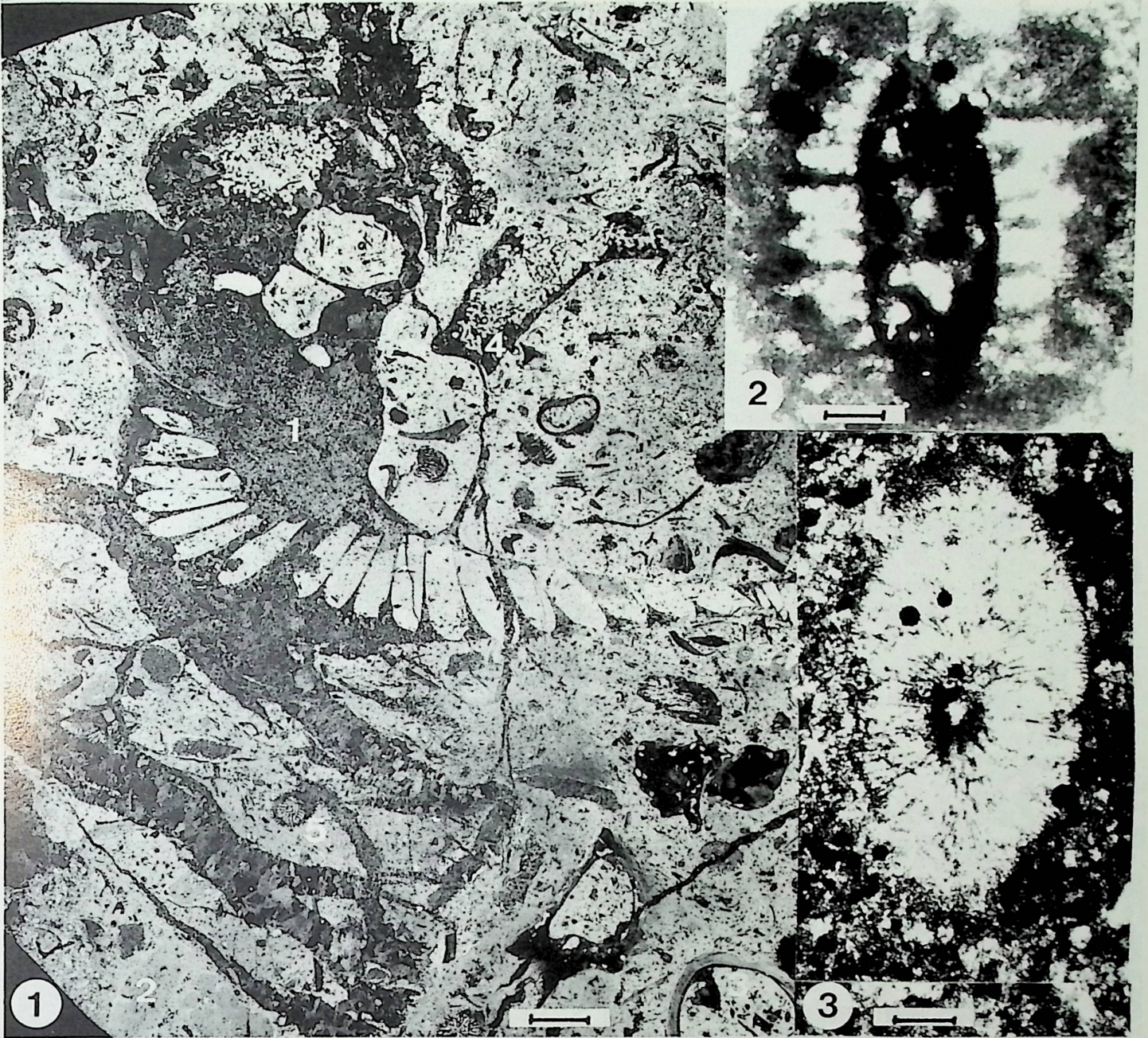
- Fig. 1 *Hensonina* sp.. Diese Foraminifere zeigt einen neomorphen granularen Kalzit, der vermutlich auf einen ursprünglichen Aragonit zurückgeführt werden kann.
Probe TRA 3/81, Maßstab 100 µm.
- Fig. 2 *Hensonina lenticularis* umkrustet von Cyanophyteen (Fazieszone 9).
Probe CDM 13/82, Maßstab 100 µm.
- Fig. 3 *Costinolinella daguini*, Unteralb (Fazieszone 7) aus der liegenden Karbonatserie des Comillas-Profiles.
Probe CDM 16/82, Maßstab 100 µm.
- Fig. 4 *Perroncalculus* sp. aus der Doid-Grainstone-Fazies der Unteralb-Karbonatserie.
Probe CDM 16/82, Maßstab 100 µm.
- Fig. 5 Milioliden/Ataxophragmiiden-Wackestone der *Nerinea*-Biofazies der *Caprina*-Zone (Fazieszone 7).
Probe SU/82, Maßstab 100 µm.
- Fig. 6 *Daxia cenomana*, Grainstone-Fazies (Fazieszone 9).
Probe TRA 3/81, Maßstab 100 µm.
- Fig. 7 *Hensonina lenticularis*, total rekristallisiert in einem drusigen Kalzit. Es handelt sich um das extremste Diagenese-Stadium, das bei dieser Foraminifere beobachtet wird. *Caprina*-Biofazies von Suances.
Probe SU 8/82, Maßstab 100 µm.
- Fig. 8 Extrem dicke Mikritrinde einer Komponente der *Caprina*-Biofazies (Fazieszone 10), vermutlich verursacht durch endolithische Pilze.
Probe SU 8/82, Maßstab 200 µm.
- Fig. 9 Detail von Fig. 8 mit deutlichen Bohrgängen, die an ein Pilz-Myzel erinnern.
Probe SU 8/82, Maßstab 100 µm.
- Fig. 10 *Monopleura*-Kolonie innerhalb der *Caprina/Monopleura*-Biofazies mit häufigen komplexen Ataxophragmiiden (1) (Fazieszone 11b).
Probe SU 8/82, Schliff-Negativ, Maßstab 2 mm.



TAFEL 11

Conillas-Suances-Karbonatplattform des Oberalb, *Caprina/Scleractinia*-Biofazies (Fazieszone 11b)

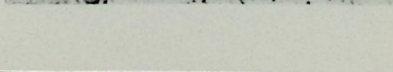
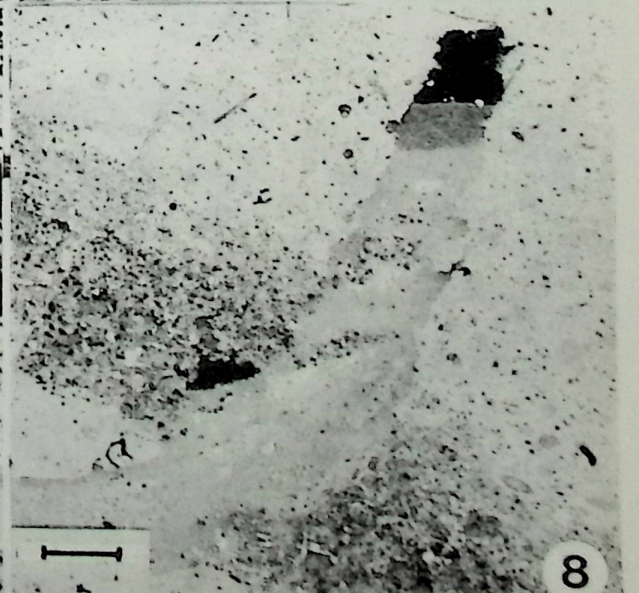
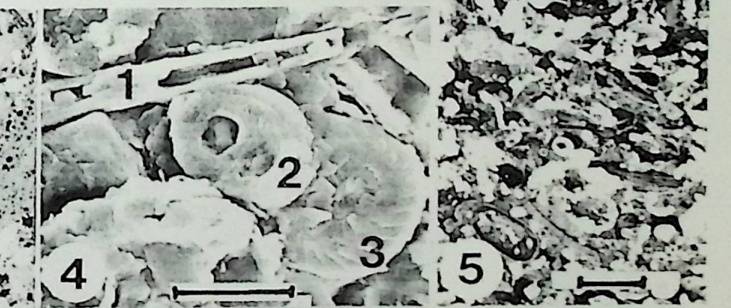
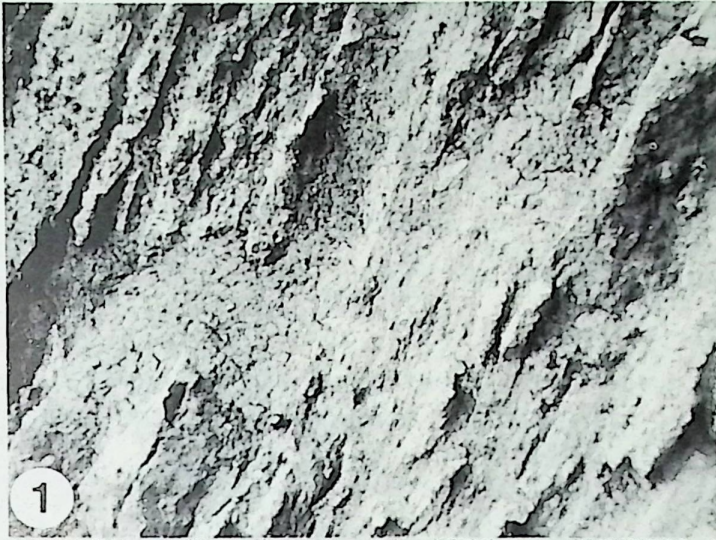
- Fig. 1 *Caprina choffati* (1)-Gemeinschaft mit *Solenopora* sp. (2), *Monopleura* sp. (3),
Stromatopora (*Actinostromaria* sp.) (4) und *Pleurocora* sp. (5).
Probe SU 8/82, Peel-Negativ, Maßstab 5 mm.
- Fig. 2 Dasycladaceae (? *Heteroporella* sp.) unkrustet von Cyanophyteen Lagen,
Caprina/Scleractinia-Biofazies.
Probe SU 8/82, Maßstab 100 µm.
- Fig. 3 *Solenopora* sp., *Caprina/Scleractinia*-Biofazies.
Probe SU 8/82, Maßstab 100 µm.
- Fig. 4 *Dicyclina schlumbergeri*, Axialschnitt,
Probe SU 8/82, Maßstab 200 µm.
- Fig. 5 *D. schlumbergeri*, subaxialer Schnitt,
Probe SU 8/82, Maßstab 200 µm.
- Fig. 6 *D. schlumbergeri*, schiefer subaxialer Schnitt.
Probe SU 8/82, Maßstab 200 µm.
- Fig. 7 *Cuneolina pavonia*, subaxialer Schnitt,
Probe SU 8/82, Maßstab 100 µm.
- Fig. 8 *C. pavonia*, annähernd longitudinaler Schnitt,
Probe SU 8/82, Maßstab 200 µm.
- Fig. 9 *C. pavonia*, Transversalschnitt,
Probe SU 8/82, Maßstab 200 µm.



TAFEL 12

Albeniz-Eguino-Karbonatplattform des Oberalb, Becken- und Vorriff-Fazies (Fazieszone 14, 12a, 12b)

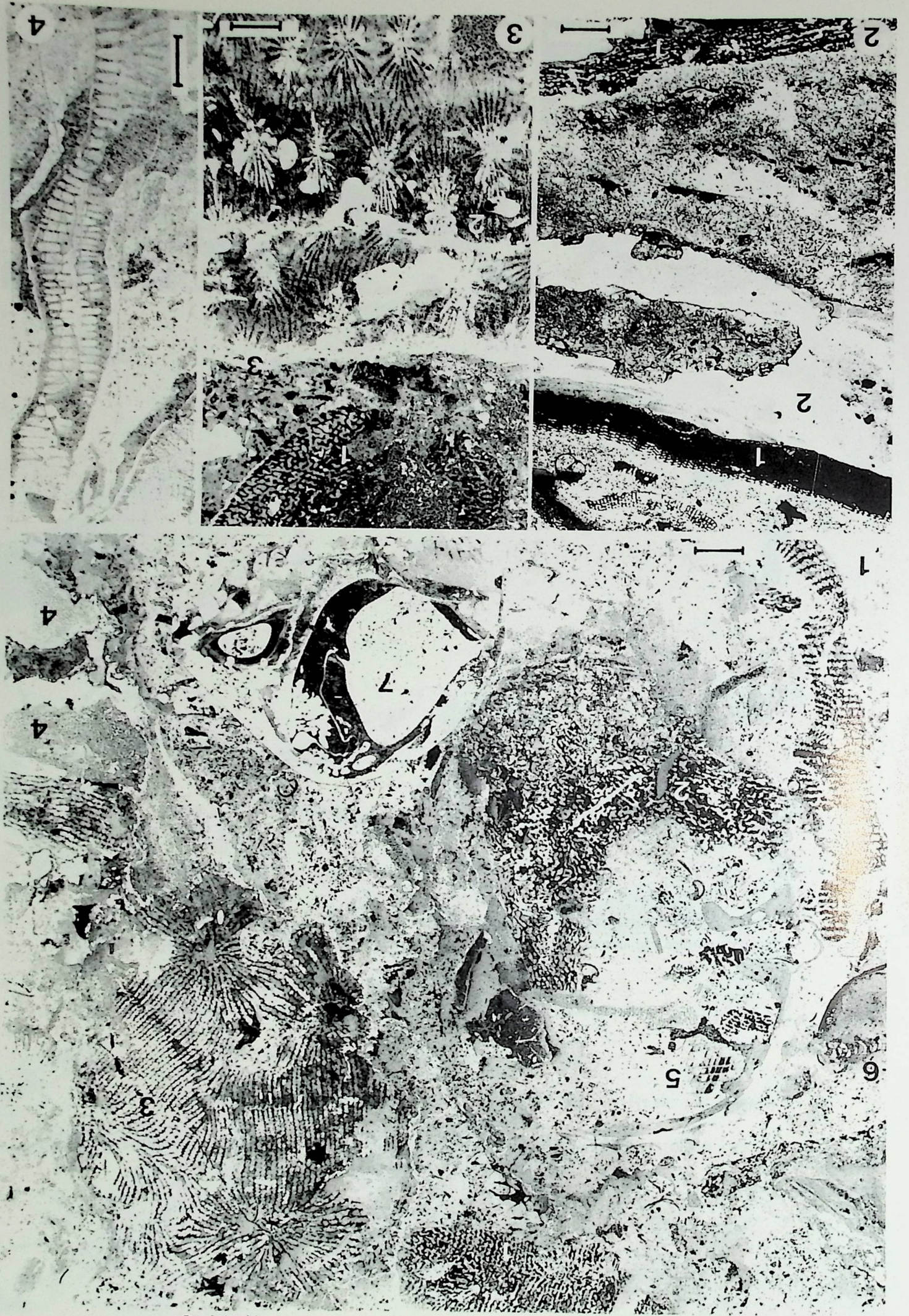
- Fig. 1 Aufschluß-Bild der Debris Flows des tiefen Vorriffs im Westen des Albeniz (Fazieszone 12b).
Probe A 21, Maßstab: Bankstärken 15 - 20 cm.
- Fig. 2 *Acanthochaetetes seunesi* (2); Riffschutt umkrustet mit lithistiden Spongien (1); Araya-Riff (Fazieszone 12b).
Probe AR 82, Peel-Negativ, Maßstab 2 mm.
- Fig. 3 Floatstone des proximalen Vorriffs (Fazieszone 12a) mit Pharetroniden (1), *Lithistina* (2), *Acanthochaetetes* (3), *Mesorbitolina* sp. (4), *Neorbitolinopsis conulus* (5).
Vorriff des Albeniz.
Probe ALBE 5, Schliff-Negativ, Maßstab 1 mm.
- Fig. 4 Beckenfazies (La Lece-Fazies) in der Verzahnung mit den Vorriff-Sedimenten des Albeniz (Fazieszone 14), *Parhabdolithes* sp. (1), *Zygodiscus* sp. (2), *Watznaueria* sp. (3); REM-Bild.
Probe A 57, REM-Nr. 67947, 10 KV, Maßstab 4 µm.
- Fig. 5 Grainstone-Fazies des Vorriffs (Fazieszone 12a).
Probe ALBE 2/81, Schliff-Negativ, Maßstab 1 mm.
- Fig. 6 Vorriff-Biofazies mit *Lithistida* (1) und *Polytrenacis* sp. (2), am Übergang von der typischen Riffkern-Fazies (Fazieszone 11a) zur Vorriff-Fazies (Fazieszone 12a).
Probe ALBE 1, Schliff-Negativ, Maßstab 2 mm.
- Fig. 7 Vorriff-Brekzie vom Otzaurte-Riff 6 mit einer sehr heterogenen Komponenten-Zusammensetzung (Fazieszone 12a).
Probe DZT 10/1a/81, Schliff-Negativ, Maßstab 1 mm.
- Fig. 8 Vorriff-Turbidit-Fazies mit Abriss-Spalten; der Winkel zwischen der Wasserwaage und der Schichtung des Turbidits zeigt die ursprüngliche Hangneigung (Fazieszone 12b).
Probe A 55, Schliff-Negativ, Maßstab 25 mm.



TAFEL 13

Albeniz-Eguino-Karbonatplattform des Oberalb, *Microsolena*-Biofazies der Riffkern-Fazies (Fazieszone 11a)

- Fig. 1 *Microsolena*-Framestone aus dem Echarri Aranaz-Olisthostrom; *Microsolena* cf. *distefanoi* (1), *Actinarea* sp. (2), *Cyathoseris* sp. (3), *Actinostromaria* sp. (4), *Eoradiolites* sp. (5), *Stylothalamia* sp. (6), Rudist (7).
Probe EA/2/81, Peel-Negativ, Maßstab 5 mm.
- Fig. 2 *Microsolena* (1)-Biofazies mit Mikrokarst-Kavernen (2) verfüllt mit einem Mudstone mit Ostrakoden, der einen erheblichen Environment-Wechsel anzeigt. Otzaurte-Riff 13 (Drobe).
Probe Ozt 13/81, Schliff-Negativ, Maßstab 3 mm.
- Fig. 3 *Microsolena* (1)-Biofazies der Landa-Plattform des Oberalb zusammen mit *Allicornia* sp. (2), unkrustet von *Lithocodium aggregatum* (3).
Probe LAN/82, Schliff-Negativ, Maßstab 2 mm.
- Fig. 4 Einzelkoralle vom *Rennensismilia*-Typ (Meandriina), Otzaurte-Riff 12.
Probe OZT 12/6/81, Peel-Negativ, Maßstab 3 mm.

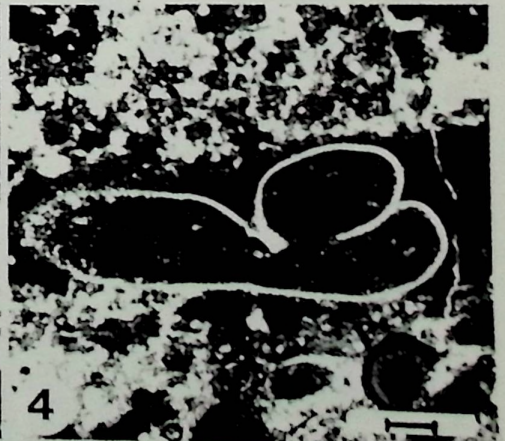
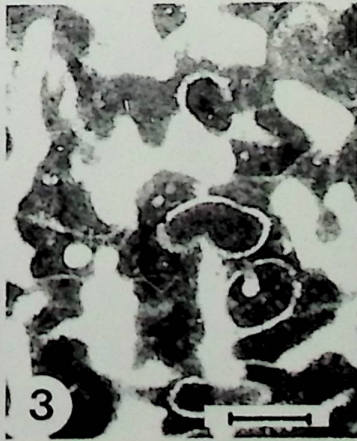
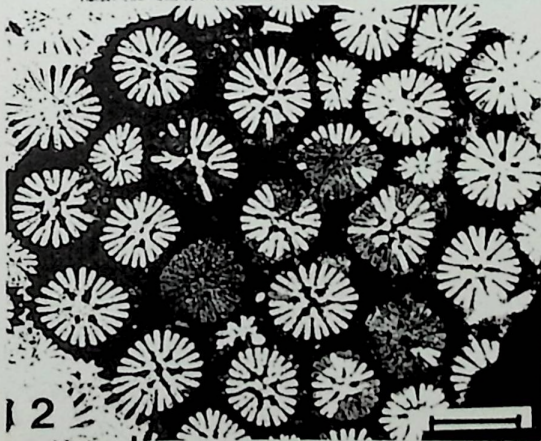


TAF 13

TAFEL 14

Albeniz-Eguino-Karbonatplattform, *Microsolena*-Biofazies der Riffkern-Fazies (Fazieszone 11a)

- Fig. 1 *Microsolena* (1)-Framestone vom Riff westlich Araya mit *Montlivaltia* sp. (1), Austern (2) und Stromatactis-artige Schrumpfporen (3).
Probe A 1, Peel-Negativ, Maßstab 5 mm.
- Fig. 2 *Columnocoenia ksiazkiewiczi*, *Microsolena*-Biofazies des Araya-Riffs.
Probe A 1, Schliff-Negativ, Maßstab 2 mm.
- Fig. 3 Unbekannte Organismen (Foraninifere?) innerhalb der Korallite von *Microsolena* sp. und anderen Scleractiniern. Dieser Typ wird sehr häufig in der Fazieszone 11a beobachtet; Olazagutia-Riff.
Probe OL 78, Maßstab 100 μ m.
- Fig. 4 Wie Fig. 3.
Probe A 21, Maßstab 100 μ m.



TAFEL 15

Albeniz-Eguino-Karbonatplattform, *Microsolena*-Biofazies

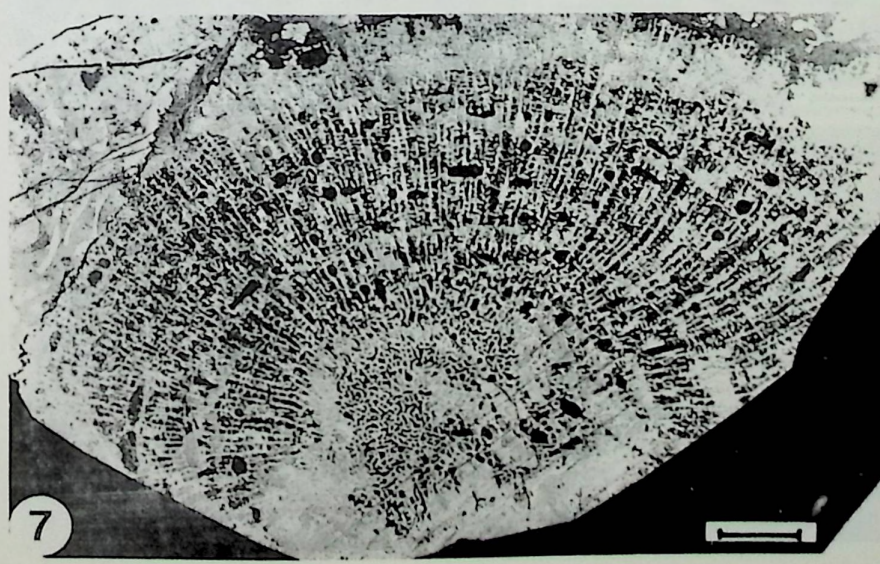
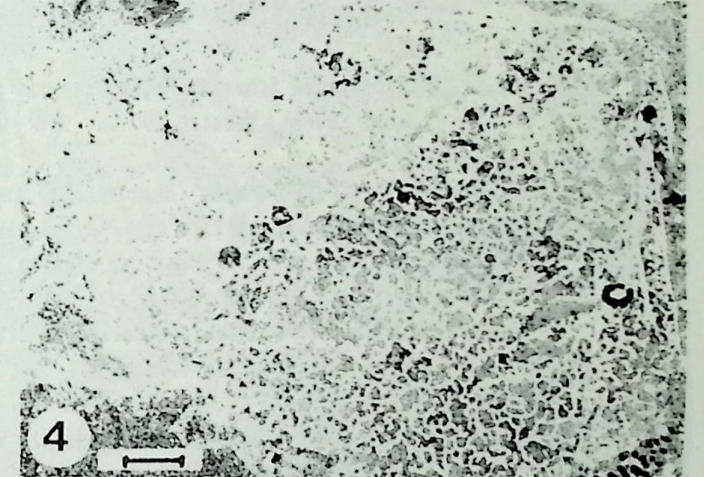
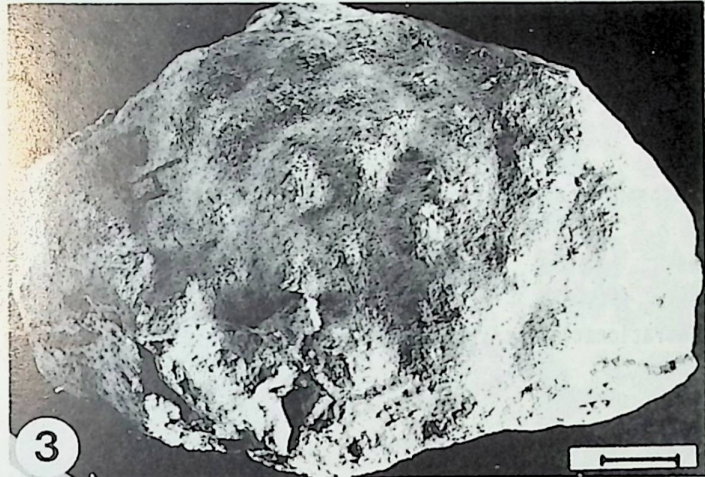
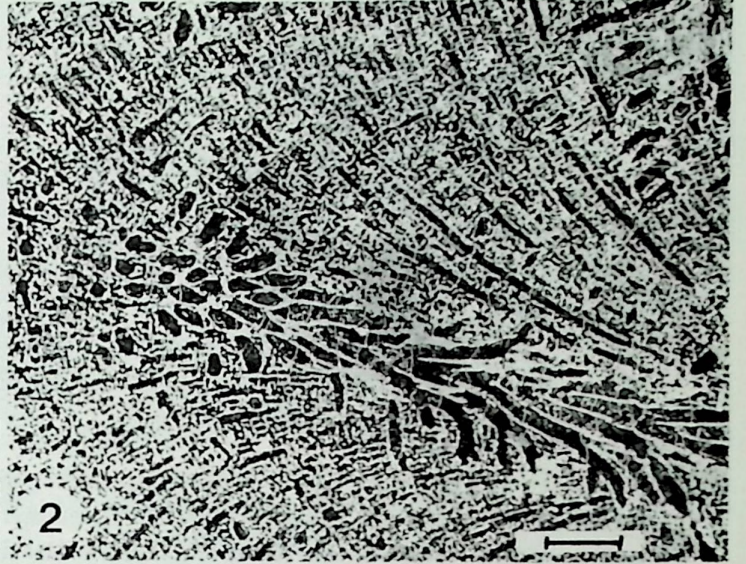
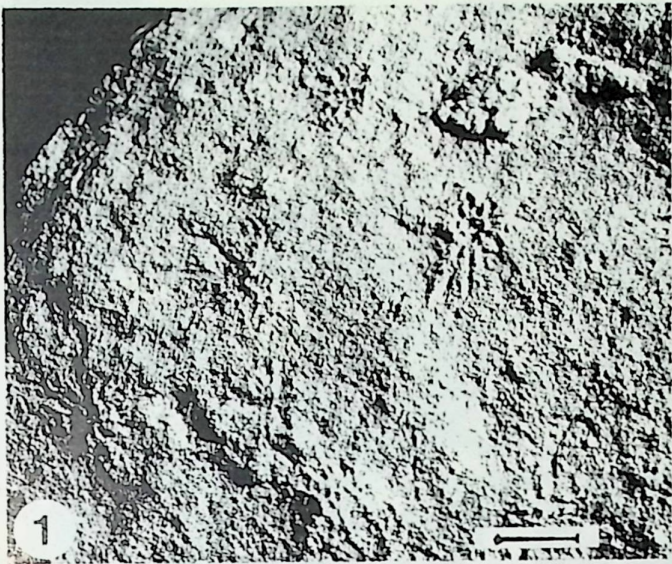
- Fig. 1 Kleine Riff-Höhlen mit *Acanthochaetetes* sp. (1) angewachsen an einen Stromatoporen (*Steinarella* sp.) (2) zusammen mit *Arabicodium* sp. (3) und einem lithistiden Schwamm (4). Otzaurte-Riff.
Probe Al 1, Schliff-Negativ, Maßstab 2 mm.
- Fig. 2 Kleiner *Acanthochaetetes* sp. (1) aufgewachsen an der Unterseite einer Koralle (2). Otzaurte-Riff 6.
Probe DZT 6, Schliff-Negativ, Maßstab 2 mm.
- Fig. 3 Großer Hohlraum innerhalb der Riffkern-Fazies mit mehrphasiger Zementation: Skalenodrischer A₁-Zement (1), radialaxialfibröser A₂-Zement (2), mikrokristallines Internsediment (3), drusiger, grobkristalliner Fe-reicher B-Zement (4). Olistolith-Riff.
Probe DL 78, Schliff-Negativ, Maßstab 3 mm.
- Fig. 4 Kleiner *Acanthochaetetes* sp. (1) innerhalb eines großen Bohrlochs. Das Gerüst besteht aus einem Stromatoporen (2) und einer plattigen Koralle (*Cyathoseris* sp.) (3). Otzaurte, großer Olistolith an der Straße nach Cegama.
Probe DZT 9/81, Schliff-Negativ, Maßstab 3 mm.
- Fig. 5 **Aka** - Bohrschwamm mit amphioxen Megaskleren. Dieser Typ ist sehr häufig und verantwortlich für einen großen Teil der Bohrgänge, in denen sich eine kryptische Faunen-Vergesellschaftung mit Tabulospongiden ansiedelt. Dieser Typ wurde das erste Mal von MÜLLER (1972) in den Spongien-Riffen des Oberjura der Schwäbischen Alb beobachtet. Marieta-Riff der Landa-Plattform des Oberalb.
Probe MAR 3, Maßstab 400 µm.
- Fig. 6 Bohrschwamm wie Fig. 5. Vorriff des Albeniz.
Probe A 21/3, Maßstab 200 µm.



TAFEL 16

Albeniz-Eguino-Karbonatplattform, *Microsolena*-Biofazies (Fazieszone 11a), stromatoporide Spongien.

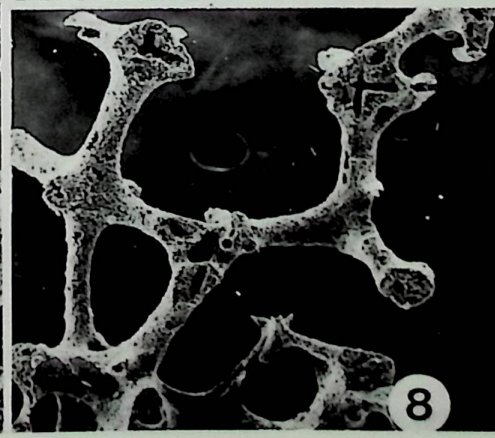
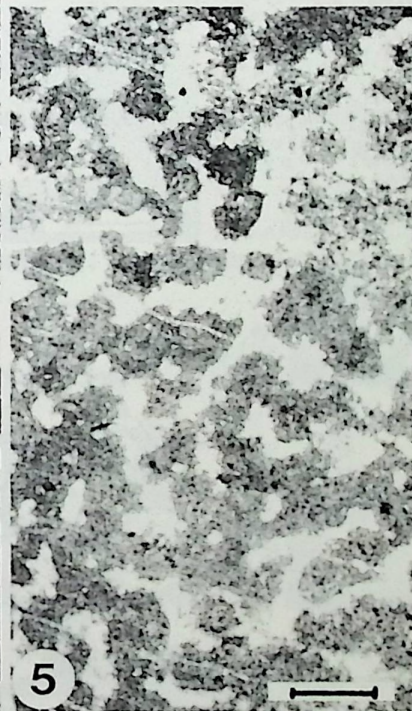
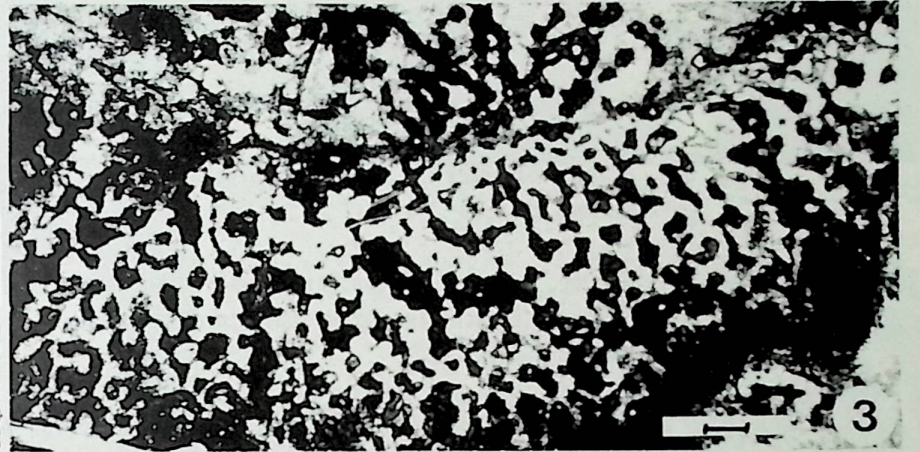
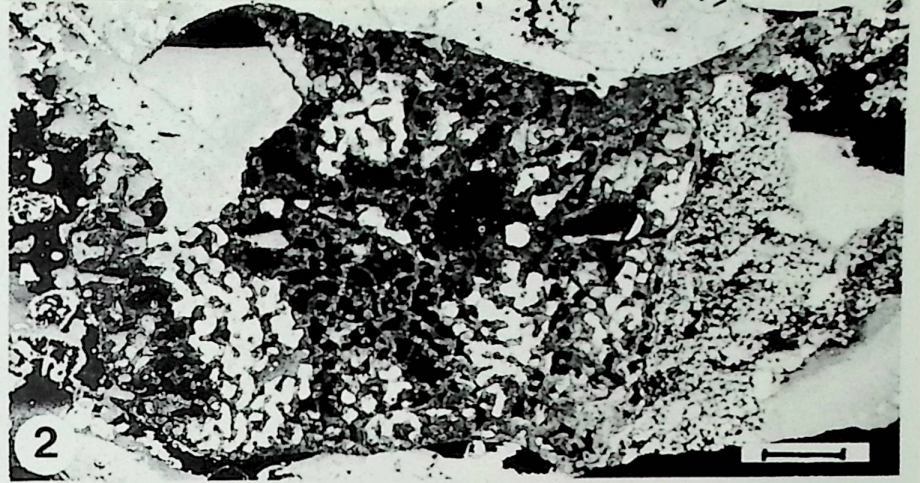
- Fig. 1 *Actinostromaria cantabrica*, ohne Mamelonen, Vorriff-Debris Flow von Albeniz.
Probe A 21, Maßstab 1 cm.
- Fig. 2 *Actinostromaria cantabrica* (vgl. Fig. 1), tangentialer Schnitt durch das Astorhizen-System.
Peel-Negativ, Maßstab 5 mm.
- Fig. 3 *Actinostromaria* sp. mit deutlichen Mamelonen; Mikrostruktur gleicht der Art *A. cantabrica*. Vorriff-Debris Flow von Albeniz.
Probe A 21, Maßstab 2 cm.
- Fig. 4 *Actinostromaria cantabrica*, kleines Exemplar, annähernd horizontaler Schnitt.
Probe A 21, Maßstab 2 mm.
- Fig. 5 *Steinerella* cf. *mesocola*, Otzaure-Riff.
Probe A1 1, Peel-Negativ, Maßstab 5 mm.
- Fig. 6 Ultrastruktur von *Actinostromaria* sp. mit deutlich mikritisierter Wand (1). Die ursprüngliche Skelett-Mineralogie war vermutlich Aragonit, Granularer Zement (2).
REM-Bild.
Probe A 21, REM-Nr. 82089, 10 KV, Maßstab 10 µm.
- Fig. 7 *Disjectopora* sp.; Albeniz-Riff.
Probe EG 1/25, Peel-Negativ, Maßstab 5 mm.
- Fig. 8 Ultrastruktur von Fig. 7 zeigt deutlich die ursprünglich sphaerulitische Struktur der Kristall-Aggregate; REM-Bild.
REM-Nr. 10231, 15 KV.



TAFEL 17-

Albeniz-Eguino-Karbonatplattform, diverse Spongien des Riffkerns (Fazieszone 11a) und des Vorriffs (Fazieszone 12)

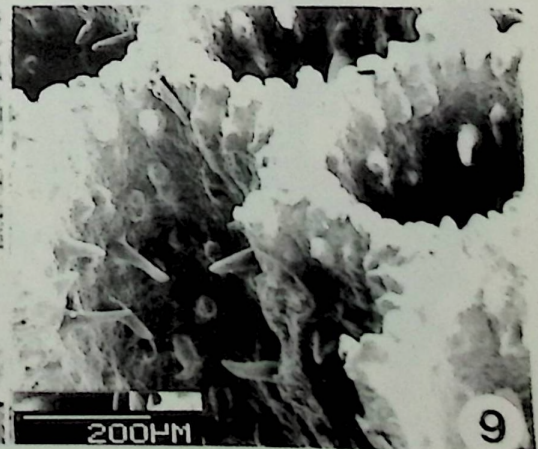
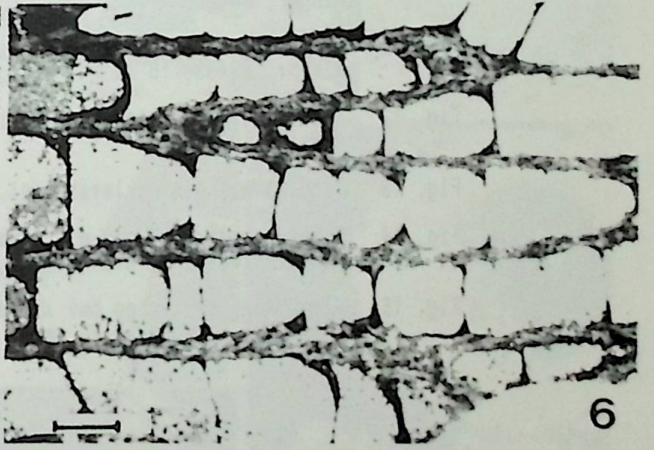
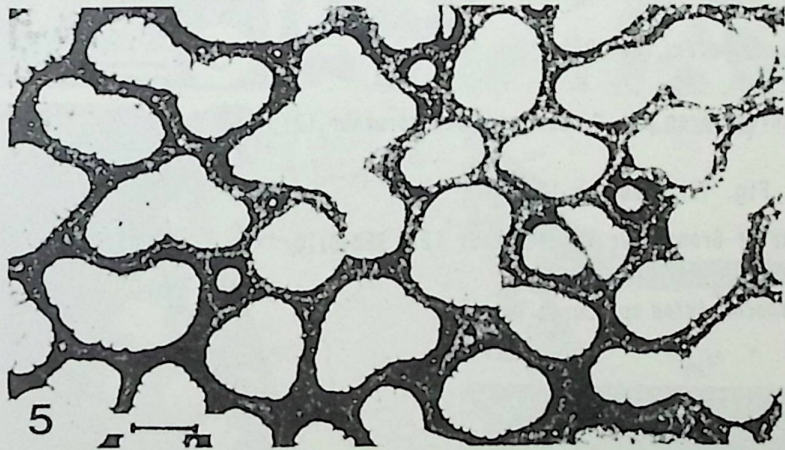
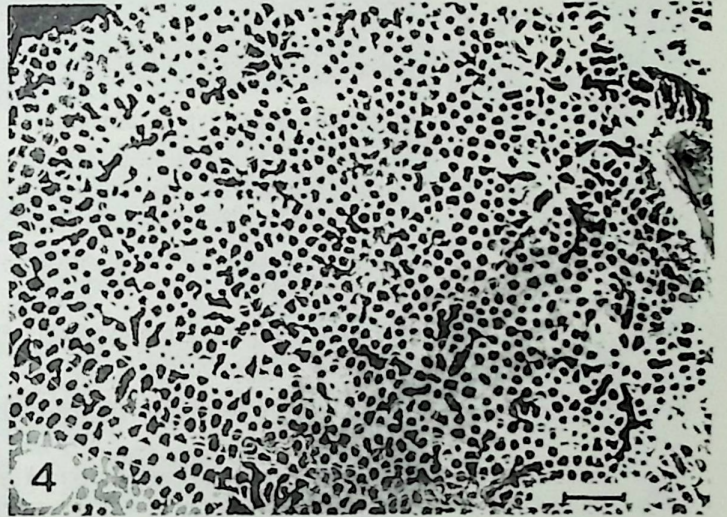
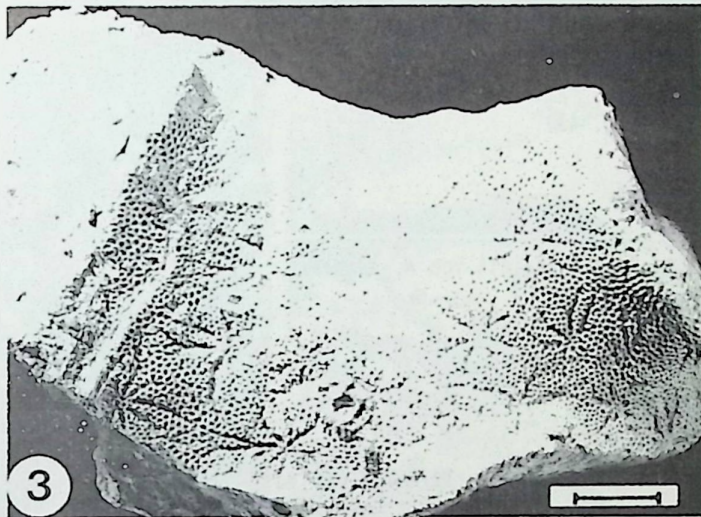
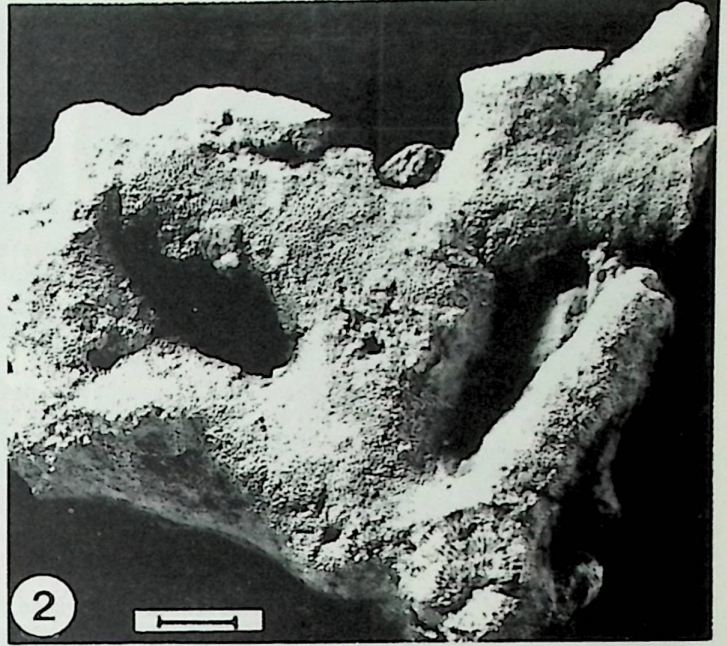
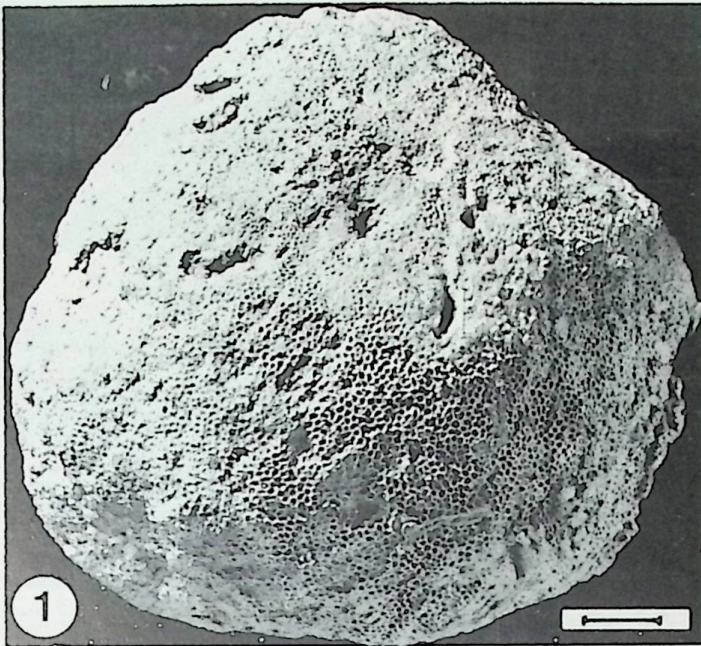
- Fig. 1 *Barroisia* sp. aus der *Microsolena*-Biofazies des Araya-Riffs.
Probe A 1, Maßstab 200 µm.
- Fig. 2 Kalkschwamm mit pharetronider Mikrostruktur aufgewachsen auf einen lithistiden Schwamm. Die Gerüststruktur erinnert an die Struktur der Parastronatoporida (*Cladocoropsis* sp.), Riffkern des Albeniz.
Probe ALBE, Schliff-Negativ, Maßstab 2,5 mm.
- Fig. 3 Lithistider Schwamm (Megamorina mit großen Megaclonen); Riffkern des Eguino.
Probe EGU 81, Maßstab 400 µm.
- Fig. 4 Lithistider Schwamm (Rhizomorina) angewachsen an eine dendroide Scleractinia-Kolonie, *Microsolena*-Biofazies des Araya-Riffs.
Probe A 1, Schliff-Negativ, Maßstab 3 mm.
- Fig. 5 Lithistider Schwamm (Tetracladina mit Tetraclonen), Vorriff-Debris Flow des Albeniz.
Probe A 61, Maßstab 100 µm.
- Fig. 6 Lithistider Schwamm (Anonocladina), Vorriff-Debris Flow des Albeniz.
Probe A 21, Maßstab 100 µm.
- Fig. 7 Guterhaltener hexactinellider Schwamm (*Lychniscosa*) im tiefen Vorriff des Albeniz.
REM-Bild,
Probe A 21/5, REM-Nr. 06370, HCl-Lösungsrückstand.
- Fig. 8 Guterhaltener hexactinellider Schwamm (*Hexactinosa*) aus dem tiefen Vorriff des Albeniz, REM-Bild.
Probe A 21/5, REM-Nr. 06398, HCl-Lösungsrückstand.
- Fig. 9 Hexactinellider Schwamm, Tiefes Vorriff des Albeniz.
Probe A 21, Maßstab 100 µm.



TAFEL 18

Albeniz-Eguino-Karbonatplattform, *Acanthochaetetes* sp. aus den Vorriff-Debris Flows des Albeniz (Fazieszone 12), Proben A 21.

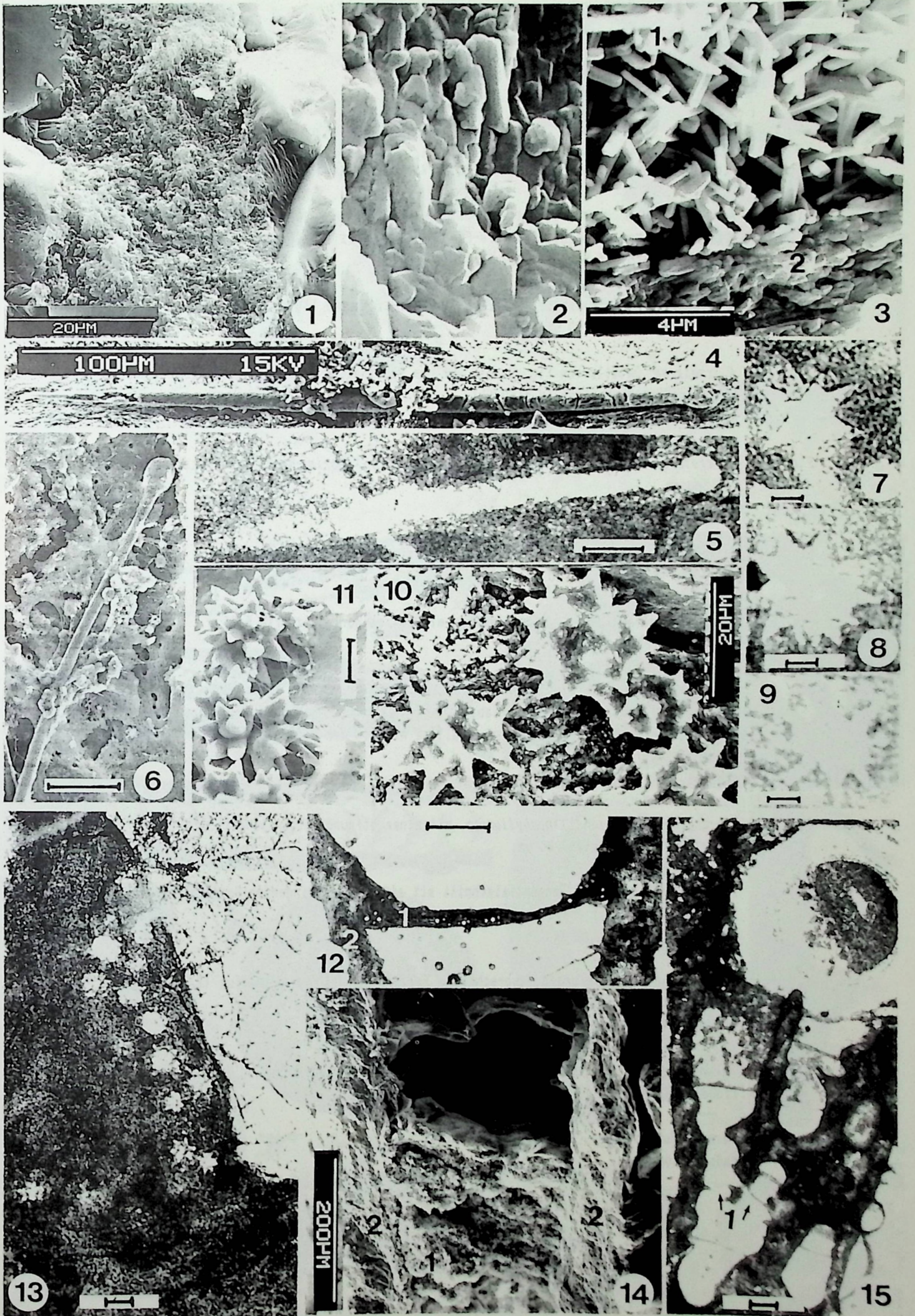
- Fig. 1 *Acanthochaetetes seunesi*, Maßstab 1 cm.
- Fig. 2 *Acanthochaetetes ramulosus*, Maßstab 1 cm.
- Fig. 3 *Acanthochaetetes* n.sp. mit Astrorhizen, Maßstab 5 mm.
- Fig. 4 *Acanthochaetetes* n.sp., Schliff-Negativ, Maßstab 2 mm.
- Fig. 5 *Acanthochaetetes* cf. *seunesi*, Querschnitt durch die Tuben, Maßstab 1 mm.
- Fig. 6 *A.* cf. *seunesi*, Längsschnitt durch die Tuben mit den Böden, Vermehrung der Tuben durch das Einschalten neuer Tuben in die Wandstruktur, Maßstab 1 mm.
- Fig. 7 Ultrastruktur des ursprünglichen Hoch-Mg-Kalzit von *Acanthochaetetes* sp., irreguläre Mikrostruktur, REM-Bild, REM-Nr. 01833, 15 KV.
- Fig. 8 Ultrastruktur des rezenten *Ac. vellsii*, die absolut identisch ist mit der der fossilen *Acanthochaetetes*, REM-Bild, REM-Nr. 10244, 15 KV.
- Fig. 9 Blick in den Innenraum der Tuben mit den typischen Wanddornen des rezenten *Ac. vellsii*, REM-Bild, REM-Nr. 10245, 15 KV.



TAFEL 19

Mikro- und Ultrastrukturen und das spikuläre Skelett von *Acanthochaetetes* sp. des Vorkommens des Albeniz-Vorriffs und der rezenten Art *Acanthochaetetes wellsi*

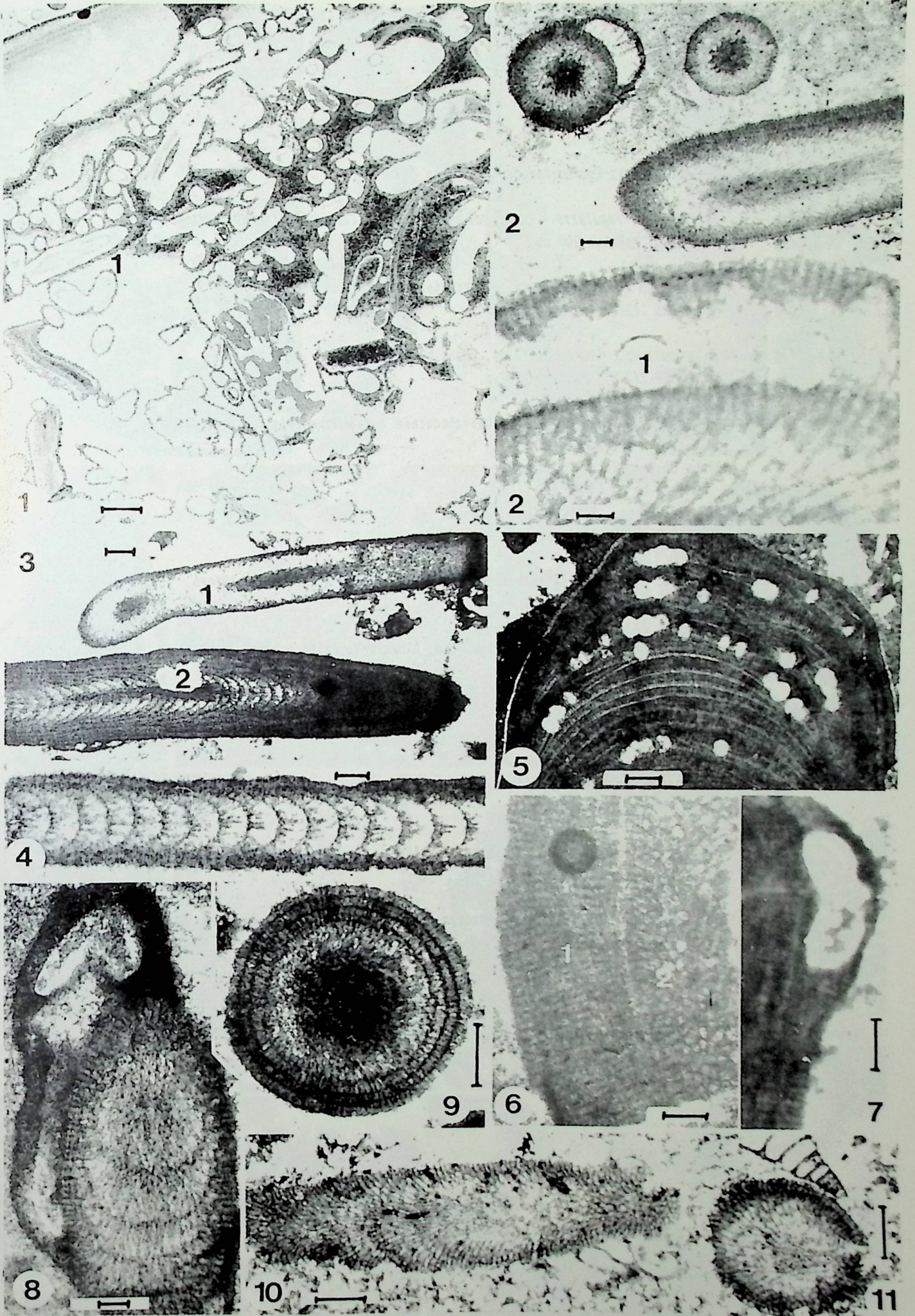
- Fig. 1 *Acanthochaetetes seunesi*, Tabulum, REM-Bild, REM-Nr. 07790, 15 KV.
- Fig. 2 *A. seunesi*, Detail-Strukturen des Tabulum von Fig. 1. Es zeigt eine deutliche Diagenese der Hoch-Mg-Kalzit-Kristalle, die abweicht von der Diagenese der Hoch-Mg-Kalzit-Kristalle der Wandstruktur, REM-Bild, REM-Nr. 07791, 15 KV.
- Fig. 3 *A. wellsi*, Die Tabulum-Struktur (1) zeigt eine vollständige irreguläre Anordnung der Hoch-Mg-Kalzite mit einem hohen Poren-Volumen, die auf eine sehr rasche Bildung der Kristalle zurückgeführt werden kann. So wird auch die abweichende Diagenese bei den fossilen Gegenstücken erklärbar, Dichtere Wandstruktur mit weniger irregulären Hoch-Mg-Kalzit-Kristallen (2), REM-Bild, REM-Nr. 10250, 15 KV.
- Fig. 4 Tylostyle Megasklere bei *A. seunesi* eingebaut in die kalzitische Wand, herausgelöst mit Titriplex III, REM-Bild, REM-Nr. 10181, 15 KV.
- Fig. 5 Tylostyler Nadel-Typ im Dünnschliff (vgl. Fig. 4), Maßstab 20 μ m.
- Fig. 6 Tylostyle Megasklere bei *A. wellsi*, REM-Bild, REM-Nr. 63497, Maßstab 20 μ m.
- Fig. 7 Euaster Mikrosklere-Typ eingebaut in das Kalzit-Skelett von *A. seunesi*, Maßstab 10 μ m.
- Fig. 8 Sphäraster- Mikrosklere-Typ (vgl. Fig. 7), Maßstab 10 μ m.
- Fig. 9 Spiraster- Mikrosklere-Typ (vgl. Fig. 7): Maßstab 10 μ m.
- Fig. 10 Sphäraster- und Spiraster-Mikrosklere bei *A. seunesi*, herausgelöst mit Titriplex III, REM-Bild, REM-Nr. 10187, 15 KV.
- Fig. 11 Spiraster Mikrosklere-Typ bei *A. wellsi*, REM-Bild, REM-Nr. 63493, 15 KV.
- Fig. 12 Tabulum (1) mit eingebauten Mikrosklere bei *A. seunesi*, Wandstruktur (2), Maßstab 100 μ m.
- Fig. 13 Tabulum mit Mikrosklere (vgl. Fig. 12), Maßstab 10 μ m.
- Fig. 14 Tabulum bei *A. wellsi* mit scharfer Grenze zur Wandstruktur (2), REM-Bild, REM-Nr. 10249, 15 KV.
- Fig. 15 Vermehrung der Tuben bei *Acanthochaetetes* sp. durch Teilung, Probe QZT 6, Maßstab 20 μ m.



TAFEL 20

Artikulate coralline Rodophyceen der Albeniz-Eguino-Karbonatplattform

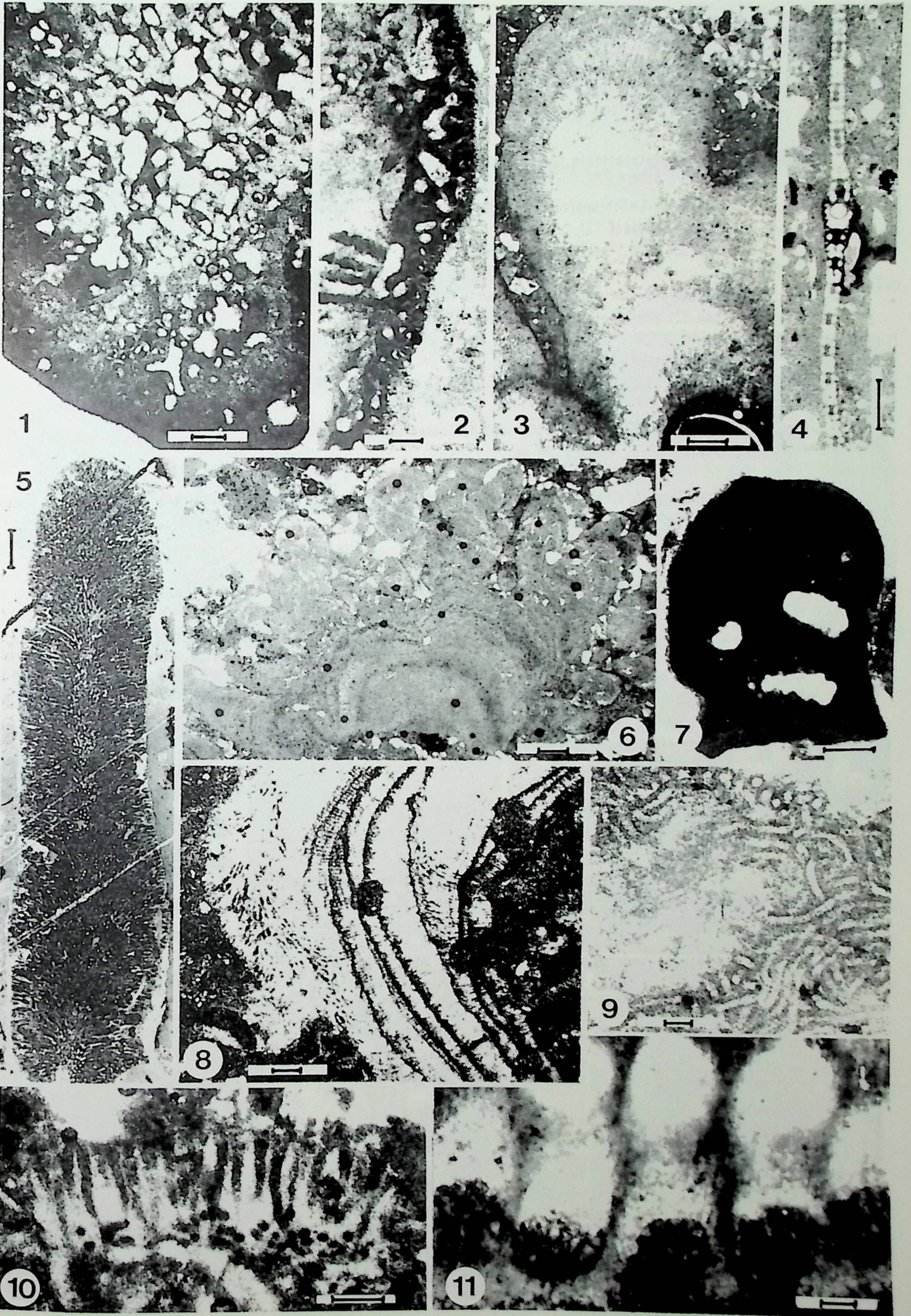
- Fig. 1 *Agardhiopsis cretacea* (?)-Büschel. Die Bioklasten sind umkrustet von einem skalenoedrischen A-Zement, Riffkern-Fazies des Albeniz (Fazieszone 11a), Probe A 61, Schliff-Negativ, Maßstab 1 mm.
- Fig. 2a *A. cretacea*, Echarri Aranaz, Riffkern-Fazies (Fazieszone 11a), Probe EA 2, Maßstab 200 µm.
- Fig. 2b *A. cretacea*, Details von Fig. 2a mit auf den Perithallus sitzenden Sporangien-Kammern mit einzelnen Sporangien in situ (1), Maßstab 20 µm.
- Fig. 3 *A. cretacea* (1) und *Paraphyllum amphiroeforme* (2), Caprina-Reef Flat (Fazieszone 10) des Eguino, Probe EGU 81, Maßstab 100 µm.
- Fig. 4 *Paraphyllum primaevum*, Caprina-Reef Flat (Fazieszone 10) des Eguino, Probe EGU 18, Maßstab 100 µm.
- Fig. 5 *Archaeolithothamnium* sp., krustose Form mit Einzel-Sori; Otzaurte Riff, Probe DZT 6/81, Maßstab 200 µm.
- Fig. 6 *Lithophyllum* sp. mit der typischen coaxialen Anordnung der Zellreihen, Perithallus (1), Hypothallus (2); Profil Arlaban, Landa-Plattform. Bei *Lithophyllum* sp. handelt es sich um die wichtigste krustose coralline Alge in den Riffen der Alb-Karbonatplattformen, Probe GUI/82, Maßstab 50 µm.
- Fig. 7 Sporangien-Kammer von *Lithophyllum* sp. mit einer Öffnung, Otzaurte-Riff 8, Probe Dzt 8/81, Maßstab 100 µm.
- Fig. 8 *Paraphyllum primaevum*, Tangentialschnitt mit einer außen liegenden Sporangien-Kammer; Riffkern des Albeniz (Fazieszone 11a), Probe A 61, Maßstab 20 µm.
- Fig. 9 *Paraphyllum amphiroeformis*, Querschnitt; Perithallus (1), Hypothallus (2); Marieta-Riff, Landa-Plattform, Probe MAR 3, Maßstab 100 µm.
- Fig. 10 *Paraphyllum* sp., Miliolida/Ataxophragmiida-Biofazies (Fazieszone 7), Probe A 26, Maßstab 100 µm.
- Fig. 11 *Paraphyllum* sp. (vgl. Fig. 10), Querschnitt, Maßstab 100 µm.



TAFEL 21

Diverse Algen der Albeniz-Eguino-Karbonatplattform

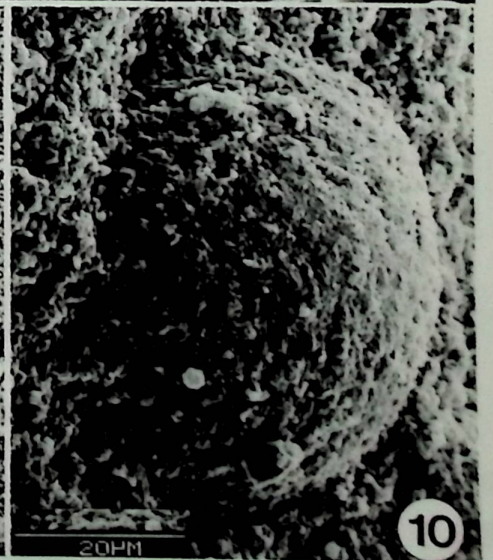
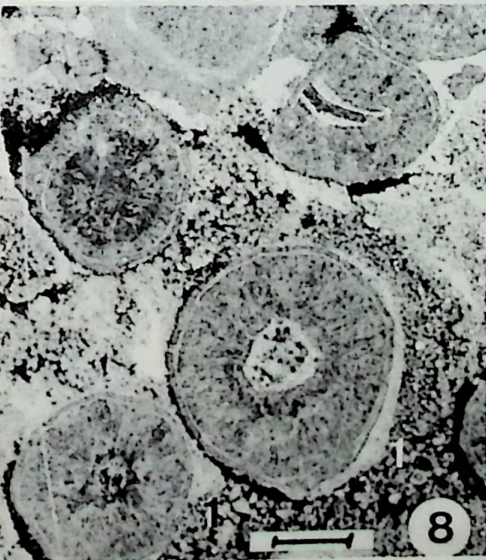
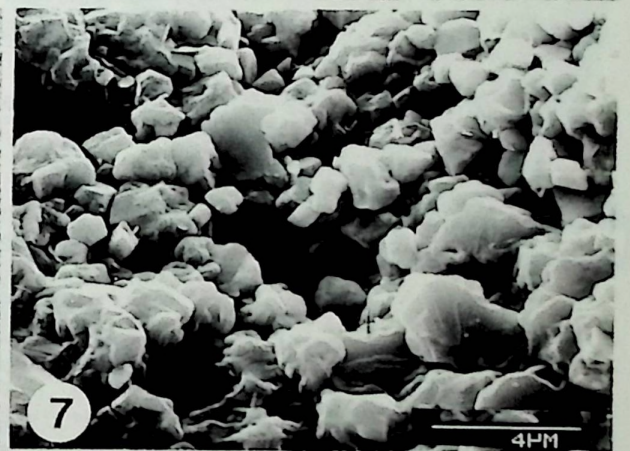
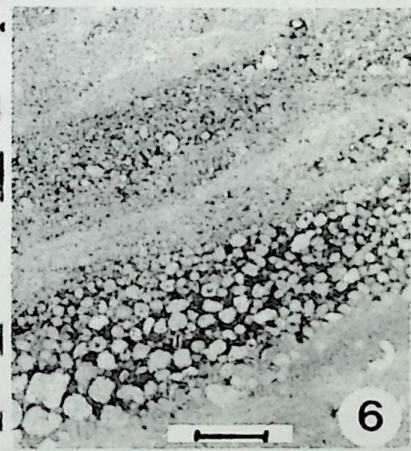
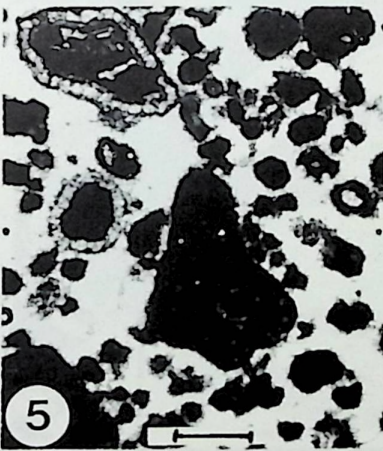
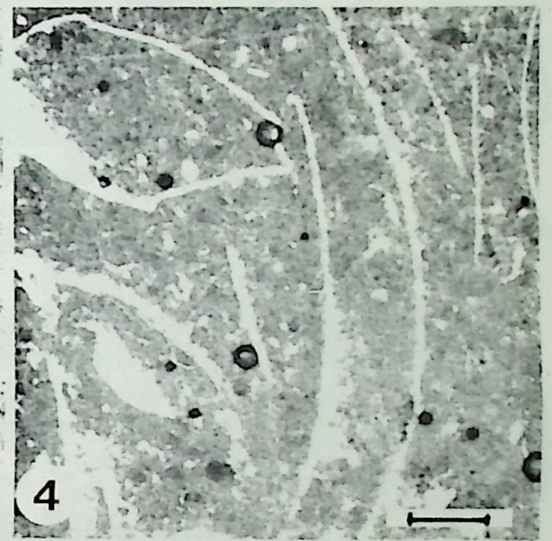
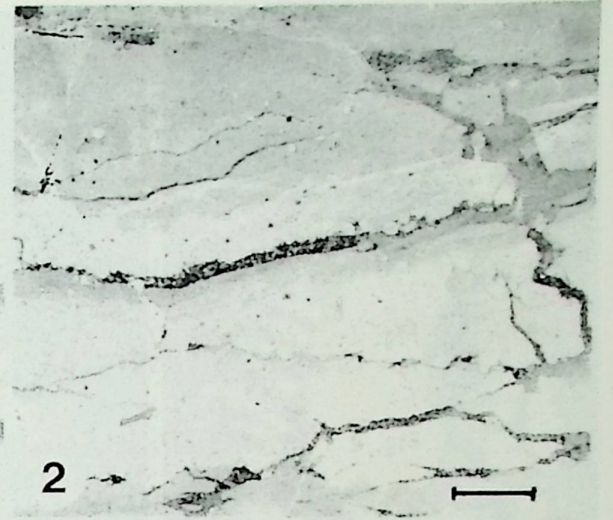
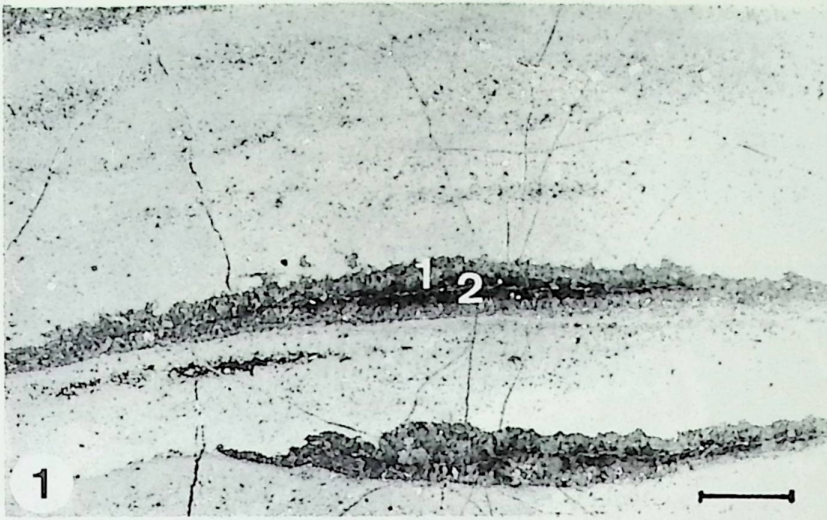
- Fig. 1 *Baccinella irregularis* = *Lithocodium aggregatum*, Caprina-Biotazies (Fazieszone 10).
Probe EGU, Maßstab 200 µm.
- Fig. 2 *Lithocodium aggregatum*, Koralle unkrustend, Landa-Plattform.
Probe LAN 1/2/82, Maßstab 200 µm.
- Fig. 3 *Solenopora* sp., Iturmendi-Mulde, Oberalb.
Probe ITU 2/2/81, Maßstab 400 µm.
- Fig. 4 *Dissocladella* n.sp., typische Dasycladaceae der äußeren Plattform-Bereiche, Echa Aranaz.
Probe EA 2, Maßstab 200 µm.
- Fig. 5 *Arabicodium* sp., Riffkern des Albeniz.
Probe A 30/1, Schliff-Negativ, Maßstab 2 mm.
- Fig. 6 *Marinella lugeoni*, Problematische Rotalge, Marieta-Riff, Landa-Plattform.
Probe MAR 3, Maßstab 200 µm.
- Fig. 7 *Archaeolithothamnium* sp., knollige Form, Albeniz-Vorriff.
Probe ALBE 5/81, Maßstab 200 µm.
- Fig. 8 *Ethelia alba*, Albeniz-Riffkern.
Probe EG 1/1/81, Maßstab 100 µm.
- Fig. 9 *Girvanella* sp., Landa-Plattform.
Probe LAN/82, Maßstab 10 µm.
- Fig. 10 *Boueina pygmaea*, Marieta-Riff, Landa-Plattform.
Probe MAR 3, Maßstab 100 µm.
- Fig. 11 *Archaeolithothamnium*-Sporangien-Kammer (Sori) mit Tetrasporen in situ, Marieta-Riff, Landa-Plattform.
Probe MAR 3, Maßstab 10 µm.



TAFEL 22

Albéniz-Eguino-Karbonatplattform, karbonatisches Intertidal (Fazieszone 5/6)

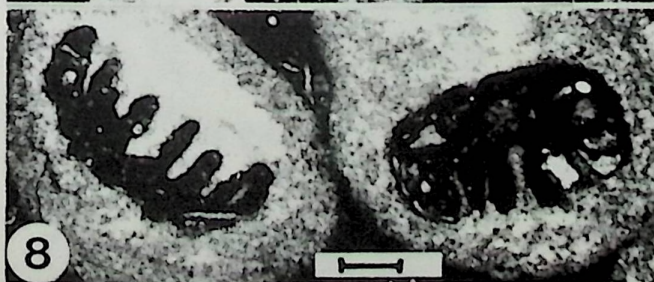
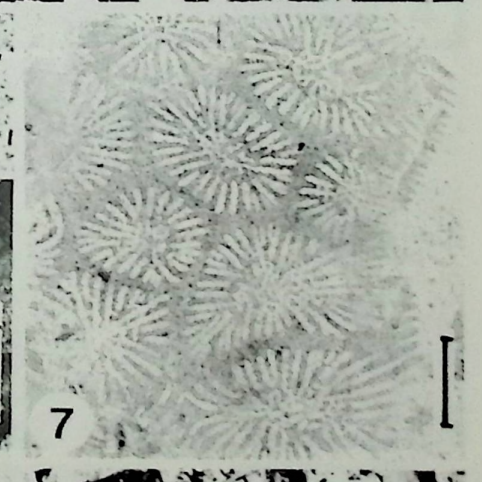
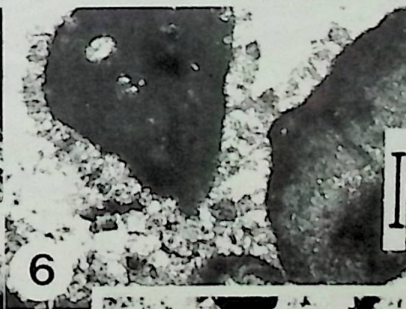
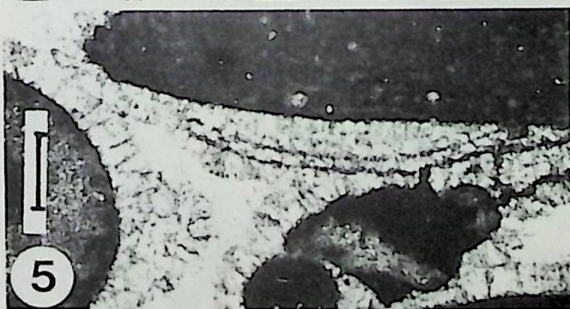
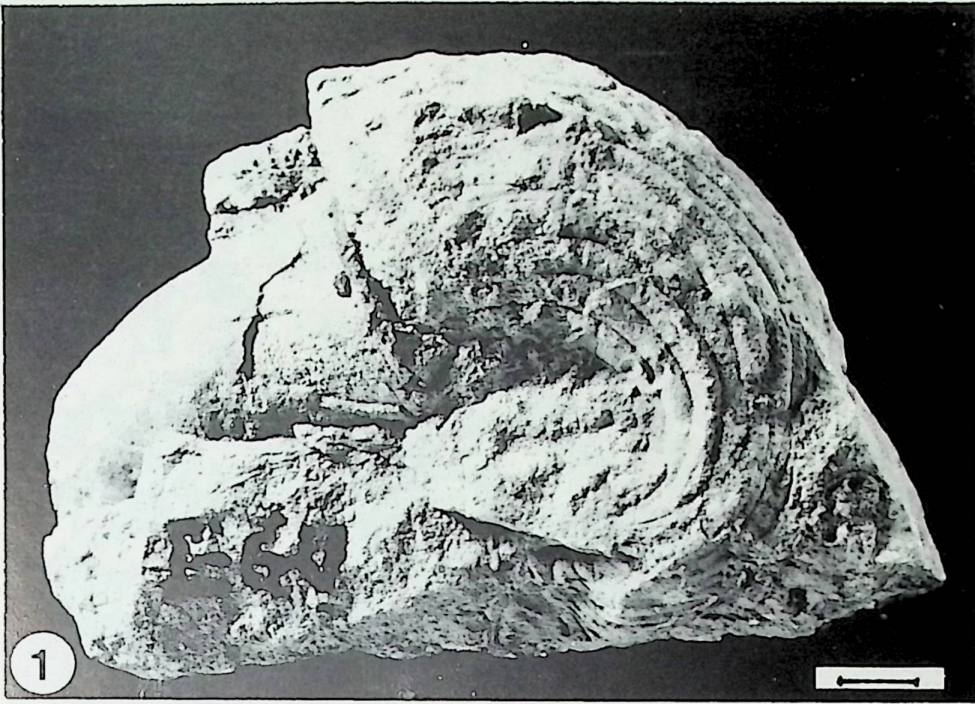
- Fig. 1 Mudstone mit Schrumpfrissen, Otzaurte Riff 13; radialaxialfibröser A-Zement (1), drusiger B-Zement (2).
Probe DZT 13/8, Peel-Negativ, Maßstab 5 mm.
- Fig. 2 Mudstone mit Schrumpfrissen, Otzaurte Riff 6.
Probe DZT 6/9, Peel-Negativ, Maßstab 5 mm.
- Fig. 3 Stromatolithen, Drobe-Riff.
Probe DZT 13/6, Peel-Negativ, Maßstab 5 mm.
- Fig. 4 Peloid-Mudstone mit Ostrakoden und Mollusken-Schalen, Drobe-Riff.
Probe DZT 13/6, Maßstab 200 µm.
- Fig. 5 Aggregatkorn-Grainstone mit pisoid-artigen Strukturen in enger Verbindung mit der Stromatolithen-Fazies (vgl. Fig. 3).
Maßstab 200 µm.
- Fig. 6 Schräggeschichtete gradierte Mini-Intraklasten (Pseudopellets), Eguino-Riff.
Probe CI 80, Schliff-Negativ, Maßstab 1 mm.
- Fig. 7 Pelmikrit, z.T. diagenetisch stark verändert durch synaxiales Kornwachstum, Otzaurte-Riff 12, REM-Bild.
Probe DZT 12/5, REM-Nr. 01085, 15 KV.
- Fig. 8 PISOIDE mit asymmetrischem Dripstone-Zement (1), Olazagutia-Riff.
Probe DL 78, Maßstab 2 mm.
- Fig. 9 PISOIDE mit Meniskus-Zementen (1) (vgl. Fig. 8).
Maßstab 200 µm.
- Fig. 10 Calcisphäre (Grünalgen-Oogonie?) in der Mudstone-Fazies des Drobe-Riffs. Es handelt sich vermutlich um einen wichtigen Mikrit-Produzenten in dieser Fazies, REM-Bild.
REM-Nr. 01087, 15 KV.



TAFEL 23

Albéniz-Eguino-Karbonatplattform, *Caprina*-Biofazies, Reef Flat (Fazieszone 10)

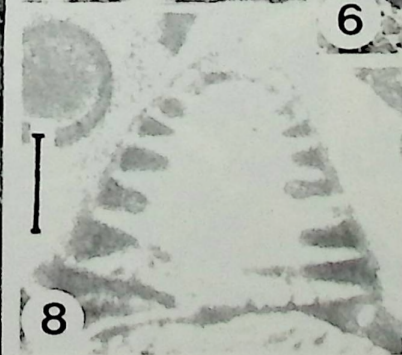
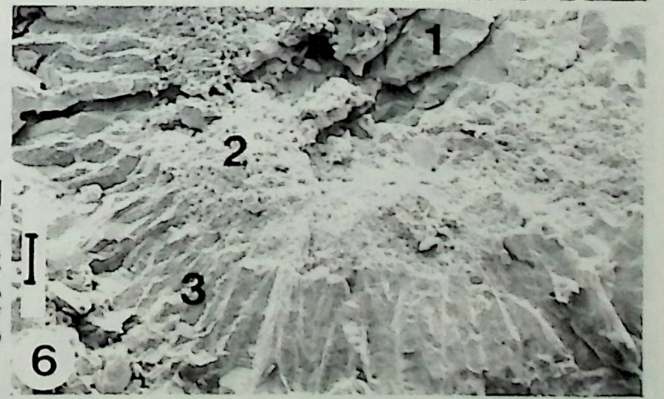
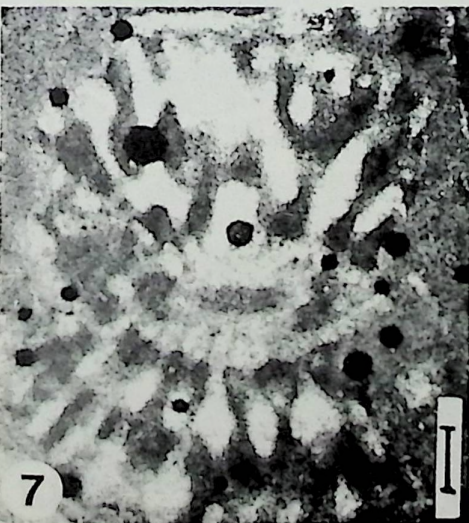
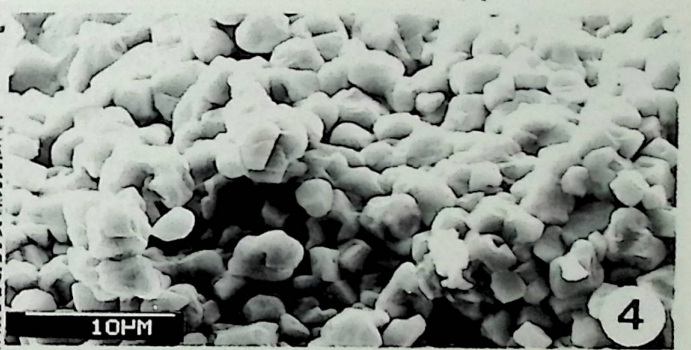
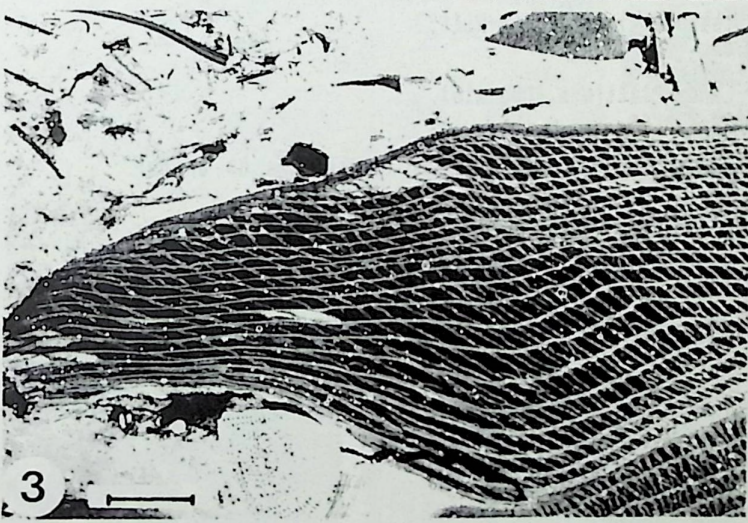
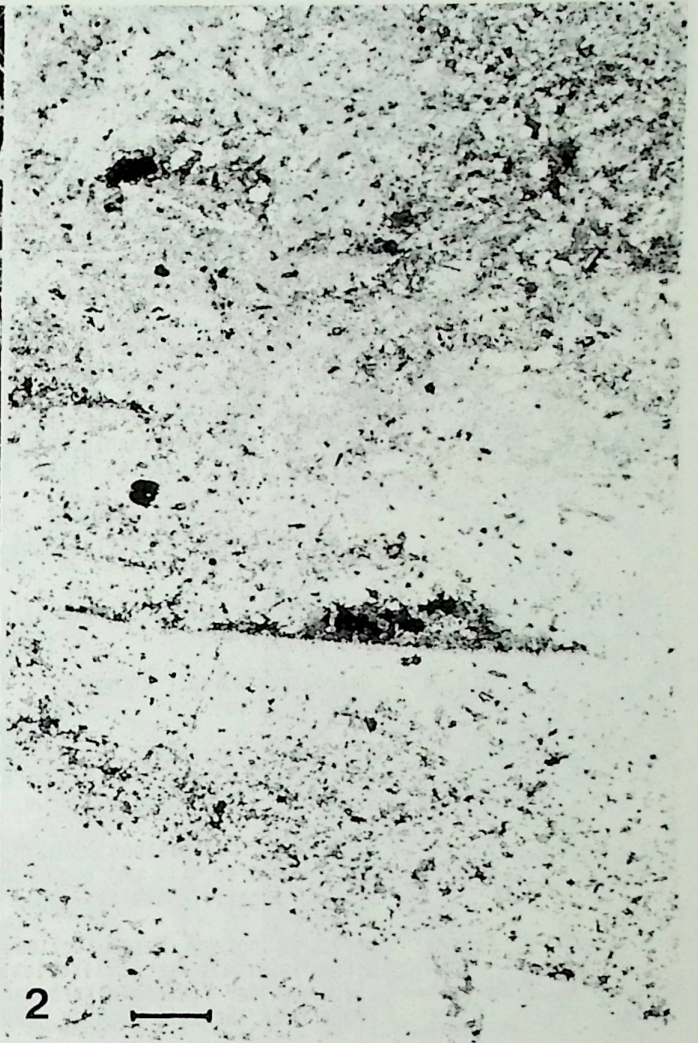
- Fig. 1 *Caprina choffati*, mit fixer (1) und freibeweglicher (2) Schale, Eguino-Riff.
Probe EGU/81, Maßstab 5 mm.
- Fig. 2 *Triplopora marsicana*, *Caprina*-Biofazies des Eguino-Riffs.
Probe EGU/81, Maßstab 100 µm.
- Fig. 3 *Caprina choffati* (1), vertikaler Schnitt durch die fixe Schale; bewachsen von einem lithistiden Schwamm (2), Eguino-Riff.
Probe CI 110, Schliff-Negativ, Maßstab 3 mm.
- Fig. 4 *Pycnoporidium* sp. (Solenoporaceae), Diese Alge ist sehr häufig in *Caprina*-Biofazies, Eguino-Riff.
Probe EGU/81, Maßstab 400 µm.
- Fig. 5 Dripstone-A-Zemente, Eguino-Riff.
Probe EGU/81, Maßstab 100 µm.
- Fig. 6 Dripstone/Meniskus-Zemente (vgl. Fig. 5).
Maßstab 100 µm.
- Fig. 7 *Latiastrea* sp., halbkugeliger Korallit, Eguino-Riff.
Probe CI 110, Peel-Negativ, Maßstab 2 mm.
- Fig. 8 *Pseudopistophyllum quinquesepatum*, Otzaurte-Riff, Erster Nachweis dieser Koralle in den Mittelkreide-Riffen.
Probe AL 1, Maßstab 1 mm.
- Fig. 9 *P. quinquesepatum*, phaceloide Kolonie (vgl. Fig. 8).
Schliff-Negativ, Maßstab 2 mm.



TAFEL 24

Albéniz-Eguino-Karbonatplattform, *Radiolites*-Biofazies und hochenergetische Plattform-Sande des Reef Flats (Fazieszone 10, 9)

- Fig. 1 Rudstone der hochenergetischen Plattform (Fazieszone 9) mit *Arabicodium* sp. (1) und *Neorbitolinopsis conulus*, Otzaurte-Riff.
Probe AL 1, Schliff-Negativ, Maßstab 1 mm.
- Fig. 2 Schräggeschichtete Rudstones mit Stromatactis-artigen Poren (Fazieszone 9), Eguino-Riff.
Probe CI 111, Peel-Negativ, Maßstab 3 mm.
- Fig. 3 *Eoradiolites*-Biofazies (Fazieszone 10) des Araya-Riffs.
Probe AR/82, Schliff-Negativ, Maßstab 2 mm.
- Fig. 4 Mikritsediment der *Dictyoconus*-Rinnenfazies der hochenergetischen Plattform (Fazieszone 9), REM-Bild.
- Fig. 5 Detail einer *Radiolites*-Schale. Der äußere Rand wird von einer prismatischen Schicht gebildet, Araya-Riff.
Probe AR 82, Maßstab 100 µm.
- Fig. 6 REM-Bild eines radialaxialfibrösen A-Zements (3) der Fazieszone 9 des Eguino, Sediment (1), Mikritsaum (2).
Probe CI 111, REM-Nr. 82716, Maßstab 100 µm.
- Fig. 7 *Hensonina lenticularis* aus der Reef Flat-Fazies des Iturmendi-Olisthostroms.
Probe ITU 2/2/81; Maßstab 100 µm.
- Fig. 8 *Trocholina* sp., tangentialer Schnitt, Albéniz-Riff (Fazieszone 9).
Probe A 61/15, Maßstab 100 µm.
- Fig. 9 *Trocholina* sp., Medianschnitt (vgl. Fig 8).
Maßstab 100 µm.



TAFEL 25

Albéniz-Eguino-Karbonatplattform, innere Plattform-Bereiche, z.T. typische Lagunen-Fazies
Fazieszone 7, 8)

- Fig. 1 Gebankte Lagunen-Fazies (Fazieszone 7) im Zentrum der Albéniz-Eguino-Inselplattform, Bänke wechsellagern mit Tonen, Profil DZT 82, Bankstärken 15 - 20 cm.
- Fig. 2 Gebankte Lagunen-Fazies (Fazieszone 7) oberhalb des Dorfes Ciordia, ohne feinklastische Zwischenlagen, Profil Ciordia, Maßstab Hammer = 30 cm.
- Fig. 3 *Textularia* sp., Axialschnitt, Miliolida/Ataxophragniida-Lagunen-Biofazies (Fazieszone 7) an der Basis des Araya-Riffs, Probe A 130, Maßstab 100 µm.
- Fig. 4 *Tritaxia pyramidata*, Tangentialschnitt (vgl. Fig. 3), Maßstab 100 µm.
- Fig. 5 *Annobaculites* sp., annähernder Axialschnitt (vgl. Fig. 3), Maßstab 20 µm.
- Fig. 6 Siltiger Wackestone mit Ataxophragniiden, Miliolida/Ataxophragniida-Biofazies (Fazieszone 7) des Profils DZT 82 (vgl. Fig. 1), Probe DZT 1/82, Maßstab 100 µm.
- Fig. 7 Bioturbater Wackestone der Miliolida/Ataxophragniida-Biofazies (vgl. Fig. 6) mit *Lenticulina* sp. (1) und amphioxen Spicula (2), Schliff-Negativ, Maßstab 1 mm.
- Fig. 8 Anreicherung von Mesorbitolinen mit grober Quarkorn-Agglutination in einer Tidal-Rinne innerhalb der silikoklastischen Cargadero-Tidal-Fazies (Fazieszone 2, 3a) im Liegenden der Plattform-Karbonate, Probe A 24, Schliff-Negativ, Maßstab 1 mm.
- Fig. 9 *Toucasia/Monopleura*-Biofazies (Fazieszone 7), Otzaurte-Riff, Probe AL 1, ECH 3/3/81, Maßstab 1 mm.
- Fig. 10 *Toucasia/Monopleura*-Biofazies der Landa-Plattform (Oberalb), Probe VAL 10, Aufschlußbild, Maßstab 2,5 cm.
- Fig. 11 Sandiger Floatstone der *Mesorbitolina/Scleractinia*-Biofazies (Fazieszone 8) an der Basis des Albéniz-Riffs, Probe A 26, Schliff-Negativ, Maßstab 1 mm.
- Fig. 12 *Mesorbitolina subconcava*, *Mesorbitolina/Scleractinia*-Biofazies, Otzaurte-Riff 12, Probe DZT 12/7/81, Maßstab 100 µm.
- Fig. 13 Dolith mit Einfachooïden innerhalb der Cargadero-Tidalfazies im Liegenden der Karbonatplattform, Probe A 21/1, Maßstab 100 µm.

